

ผลกระทบของชนิดของสารละลายในการปั่นต่อกำลังรับแรงอัดและกำลังรับแรงดึงของคอนกรีตเสริมวัสดุเสริมแรง

EFFECTS OF TYPES OF CURING SOLUTION ON COMPRESSIVE
AND TENSION STRENGTHS OF CONCRETE WITH REINFORCED
MATERIALS

ชลลดา สวนดอกไม้
วิทยานิพนธ์นี้เป็นส่วนหนึ่งของการศึกษาตามหลักสูตร
ปริญญาวิกรรมศาสตรมหาบัณฑิต สาขาวิชาวิกรรมโยธา
คณะวิกรรมศาสตร์
มหาวิทยาลัยเทคโนโลยีราชมงคลรัตนบุรี
ปีการศึกษา 2566
ลิขสิทธิ์ของมหาวิทยาลัยเทคโนโลยีราชมงคลรัตนบุรี

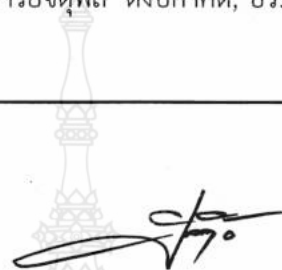
ผลกระทบของนิสัยสาระลายในการปั้มต่อกำลังรับแรงอัดและกำลัง
รับแรงดึงของคอนกรีตเสริมวัสดุเสริมแรง



วิทยานิพนธ์นี้เป็นส่วนหนึ่งของการศึกษาตามหลักสูตร
ปริญญาวิศวกรรมศาสตร์มหาบัณฑิต สาขาวิชาวิศวกรรมโยธา
คณะวิศวกรรมศาสตร์
มหาวิทยาลัยเทคโนโลยีราชมงคลธัญบุรี
ปีการศึกษา 2566
ลิขสิทธิ์ของมหาวิทยาลัยเทคโนโลยีราชมงคลธัญบุรี

หัวข้อวิทยานิพนธ์ ผลกระทบของชนิดของสารละลายในการบ่มต่อกำลังรับแรงอัดและกำลังรับแรงดึงของคอนกรีตเสริมวัสดุเสริมแรง
 Effects of Type of Curing Solution on Compressive and Tension Strengths of Concrete with Reinforced Materials
ชื่อ – นามสกุล นางสาวชลลดา สวนดอกไม้
สาขาวิชา วิศวกรรมโยธา
อาจารย์ที่ปรึกษา ผู้ช่วยศาสตราจารย์จตุพล ตั้งปภาติ, ปร.ด.
ปีการศึกษา 2566

คณะกรรมการสอบวิทยานิพนธ์



ประธานกรรมการ
 (รองศาสตราจารย์บดินทร์ กรรมาตร, ปร.ด.)



กรรมการ

(รองศาสตราจารย์ทวีชัย สำราญวนิช, ปร.ด.)

นิรัช นาgapong

กรรมการ

(รองศาสตราจารย์นิรัช นาgapong, วศ.ม.)

มนพ. พ.ศ.๒๕๖๗

กรรมการ

(ผู้ช่วยศาสตราจารย์จตุพล ตั้งปภาติ, ปร.ด.)

คณะกรรมการศาสตร์ มหาวิทยาลัยเทคโนโลยีราชมงคลล้านนา อนุมัติวิทยานิพนธ์ฉบับนี้เป็นส่วนหนึ่งของการศึกษาตามหลักสูตรปริญญามหาบัณฑิต



คณบดีคณวิศวกรรมศาสตร์

(รองศาสตราจารย์สรพงษ์ ภาสปริย์, Ph.D.)

วันที่ 25 เดือน มีนาคม พ.ศ. 2567

หัวข้อวิทยานิพนธ์	ผลกระทบของชนิดของสารละลายในการบ่มต่อกำลังรับแรงอัดและกำลังรับแรงดึงของคอนกรีตเสริมเหล็กสุดเสริมแรง
ชื่อ-นามสกุล	นางสาวชลิตา สวนดอกไม้
สาขาวิชา	วิศวกรรมโยธา
อาจารย์ที่ปรึกษา	ผู้ช่วยศาสตราจารย์จตุพล ตั้งปักษิต, ปร.ด.
ปีการศึกษา	2566

บทคัดย่อ

งานวิจัยนี้มีวัตถุประสงค์เพื่อทำศึกษาผลกระทบของชนิดของสารละลายในการบ่มต่อกำลังรับแรงอัด และกำลังรับแรงดึงโดยตรงของคอนกรีตเสริมเหล็กสุดเสริมแรง เปรียบเทียบระยะของการต่อทابของจีโอลิโกริดต่อการรับแรงดึงโดยตรง การรับแรงดัดของตัวอย่างคอนกรีตคานแบบไม่เสริมแรง และแบบเสริมจีโอลิโกริด

ทดสอบกำลังรับแรงอัดของตัวอย่างคอนกรีตรูปทรงกระบอกและแรงดึงโดยตรงของตัวอย่างคอนกรีตรูปทรง Dog Bone ที่บ่มในน้ำ ในสารละลายโซเดียมซัลเฟต และสารละลายโซเดียมคลอไรด์ ทำการเปรียบเทียบแรงดึงโดยตรงของคอนกรีตแบบไม่เสริมแรง แบบเสริมแรงด้วยวัสดุจีโอลิโกริด และแบบเสริมแรงด้วยเหล็กไวร์เมช ที่อายุ 28 และ 180 วัน ทดสอบแรงดึงโดยตรงของคอนกรีตเสริมจีโอลิโกริดที่มีการต่อทابของจีโอลิโกริดแบบ 1, 2 และ 3 ช่อง ที่อายุ 7, 14 และ 28 วัน เปรียบเทียบกำลังรับแรงดัดของตัวอย่างคอนกรีตคานแบบไม่เสริมแรง และแบบเสริมจีโอลิโกริด ที่อายุ 7, 14 และ 28 วัน

ผลการทดสอบพบได้ว่า การทดสอบกำลังรับแรงอัด มีค่าเพิ่มขึ้นตามอายุของคอนกรีตที่เพิ่มขึ้น การบ่มในสารละลายโซเดียมซัลเฟตและโซเดียมคลอไรด์ ไม่มีผลกระทบต่อกำลังอัดของคอนกรีต การทดสอบแรงดึงโดยตรงของตัวอย่างคอนกรีตรูปทรง Dog Bone ที่บ่มด้วยน้ำ สารละลายโซเดียมซัลเฟตและโซเดียมคลอไรด์ มีค่าแรงดึงโดยตรงของตัวอย่างเพิ่มขึ้นตามอายุที่เพิ่มขึ้น ซึ่งสารละลายทั้งสองชนิดยังไม่ส่งผลกระทบต่อการรับแรงดึงโดยตรง การทดสอบแรงดึงโดยตรงของตัวอย่างคอนกรีตรูปทรง Dog Bone เสริมจีโอลิโกริดที่ระยะทابรอยต่อ 1, 2 และ 3 ช่อง นั้น มีค่าไม่แตกต่างกัน และการทดสอบการรับแรงดัดของตัวอย่างคอนกรีตคานแบบไม่เสริมแรง และแบบเสริมจีโอลิโกริด มีค่าการรับแรงดัดที่ใกล้เคียงกัน

คำสำคัญ : คอนกรีตเสริมจีโอลิโกริด คอนกรีต สารละลายโซเดียมซัลเฟต สารละลายโซเดียมคลอไรด์ แรงดึงโดยตรง

Thesis Title	Effects of Types of Curing Solution on Compressive and Tension Strengths of Concrete with Reinforced Materials
Name-Surname	Miss Chonlada Suandokmai
Program	Civil Engineering
Thesis Advisor	Assistant Professor Jatuphon Tangpagasit, Ph.D.
Academic Year	2023

ABSTRACT

The objective of this research was to investigate the effects of the type of curing solution on the compressive strength of concrete and direct tensile strength of concrete reinforced with reinforcing materials. The joint overlap of the geogrid was compared using direct tensile strength tests. Additionally, the flexural strength of unreinforced and geogrid-reinforced concrete was determined through concrete beam testing.

Compressive strength tests were conducted on cylindrical concrete samples cured in water, sodium sulfate solution, and sodium chloride solution. Direct tensile testing was performed on unreinforced Dog Bone-shaped concrete samples, as well as samples reinforced with geogrid material and steel wire mesh, incubated in water, sodium sulfate solution, and sodium chloride solution at both 28 and 180 days of age. The joint overlap of 1, 2, and 3-grid geogrids was subjected to direct tensile testing at 7, 14, and 28 days of age. The flexural strength of samples, both unreinforced and reinforced with geogrid, was tested after incubation periods of 7, 14, and 28 days.

The test results concluded that the compressive strength increased with the age of the concrete, regardless of curing in sodium sulfate or sodium chloride solution. Direct tensile testing of Dog Bone-shaped concrete samples indicated an increase in strength with age, regardless of the type of curing solution used. Direct tensile tests on Dog Bone-shaped concrete samples reinforced with overlapped geogrids at 1, 2, and 3-grid configurations indicated no significant differences. Similarly, flexural strength testing of both unreinforced and geogrid-reinforced concrete beams yielded similar flexural strength values.

Keywords: geogrid reinforced in concrete, concrete, sulfate solution, chloride solution, direct tension

กิตติกรรมประกาศ

การศึกษา ค้นคว้า ฉบับนี้สำเร็จลุล่วงอย่างสมบูรณ์ได้ด้วยความกรุณา และความอนุเคราะห์ของผู้ช่วยศาสตราจารย์ ดร.จตุพล ตั้งภาคิต อารย์ทิปรักษานา ที่ได้กรุณาเสียเวลาให้คำปรึกษา คำแนะนำ และให้ข้อเสนอแนะในการปรับปรุงแก้ไขข้อบกพร่องต่าง ๆ จนสำเร็จลุล่วงไปได้ด้วยดี ผู้ทำการศึกษาวิจัยขอกราบขอบพระคุณอย่างสูงมา ณ ที่นี่

ขอขอบพระคุณ รองศาสตราจารย์ ดร.ปิติศานต์ กรรมาตร ประธานกรรมการสอบและกรรมการสอบ รองศาสตราจารย์ นิรชร นกแก้ว ที่ได้ให้ความกรุณาให้คำแนะนำในการแก้ไขข้อบกพร่องของงานวิจัยรวมทั้งเสียเวลา มาเป็นคณะกรรมการสอบวิทยานิพนธ์ และขอขอบพระคุณ รองศาสตราจารย์ ดร.ทวีชัย สำราญวนิช กรรมการและผู้ทรงคุณวุฒิจากภายนอก จากคณะวิศวกรรมศาสตร์ มหาวิทยาลัยเทคโนโลยีพระจอมเกล้าธนบุรี ที่ได้ให้ความกรุณาเสียเวลา มาร่วมเป็นคณะกรรมการในการสอบวิทยานิพนธ์ และให้คำแนะนำในด้านต่างๆ อันเป็นประโยชน์แก่งานวิจัยนี้

ขอขอบพระคุณ และมอบความดีทั้งหมดนี้ให้แก่ คุณพ่อ คุณแม่ น้องสาว เพื่อนที่รักและคณะครู-อาจารย์ ที่ให้การสนับสนุนและประสมประสิทธิ์ ประสานวิชาความรู้ตลอดมา และเพื่อน ๆ สาขา วิศวกรรมโครงสร้างทุกคนที่เป็นกำลังใจ

สุดท้ายนี้ ผู้วิจัยหวังเป็นอย่างยิ่งว่าวิทยานิพนธ์ฉบับนี้จะเป็นประโยชน์สำหรับผู้ที่สนใจหากการค้นคว้าในครั้งนี้ขาดตกบกพร่อง หรือไม่สมบูรณ์ประการใด ผู้วิจัยขอกราบขอภัยมา ณ โอกาสนี้ด้วย

ชลดา สวนดอกไม้

สารบัญ

	หน้า
บทคัดย่อภาษาไทย.....	(3)
บทคัดย่อภาษาอังกฤษ.....	(4)
กิตติกรรมประกาศ.....	(6)
สารบัญ.....	(7)
สารบัญตาราง.....	(8)
สารบัญรูป.....	(9)
บทที่ 1 บทนำ.....	12
1.1 ความเป็นมาและความสำคัญของปัจจุบัน.....	12
1.2 วัตถุประสงค์.....	12
1.3 ขอบเขตของการศึกษา.....	13
1.4 ประโยชน์ที่คาดว่าจะได้รับ.....	14
บทที่ 2 ทฤษฎีและงานวิจัยที่เกี่ยวข้อง.....	15
2.1 ทฤษฎีที่เกี่ยวข้อง.....	15
2.2 งานวิจัยที่เกี่ยวข้อง.....	32
บทที่ 3 วิธีการศึกษา.....	35
3.1 วัสดุที่ใช้ในการศึกษา.....	35
3.2 อุปกรณ์ที่ใช้ในการศึกษา.....	37
3.3 ขั้นตอนวิธีการดำเนินการศึกษา.....	40
3.4 แนวทางการวิเคราะห์ผล.....	48
บทที่ 4 ผลการศึกษาและวิเคราะห์ผลการศึกษา.....	50
4.1 ทดสอบกำลังรับแรงอัดของตัวอย่างคอนกรีตรูปทรงกระบอก.....	50
4.2 ทดสอบกำลังรับแรงดึงโดยตรงของตัวอย่างคอนกรีตรูปทรง Dog Bone.....	51
4.3 ทดสอบกำลังรับแรงดัดของตัวอย่างคอนกรีตคาน.....	56
บทที่ 5 สรุปผลการทดลองและข้อเสนอแนะ.....	58
5.1 สรุปผลการวิจัย.....	58
5.2 ข้อเสนอแนะ.....	58
บรรณานุกรม.....	59
ภาคผนวก.....	60
ภาคผนวก ก.....	61
ประวัติผู้เขียน.....	68

สารบัญตาราง

	หน้า
ตารางที่ 2.1 เวลาที่ทำให้ปฏิกริยาไขเดรชันของสารประกอบหลักสำเร็จ 80%.....	18
ตารางที่ 4.1 กำลังอัดของตัวอย่างคอนกรีตรูปทรงกระบอก.....	50
ตารางที่ 4.2 กำลังรับแรงดึงโดยตรงของตัวอย่างคอนกรีตรูปทรง Dog Bone แบบไม่เสริมแรง.....	51
ตารางที่ 4.3 กำลังรับแรงดึงโดยตรงของตัวอย่างคอนกรีตรูปทรง Dog Bone แบบเสริมเหล็ก ไวร์เมช.....	52
ตารางที่ 4.4 กำลังรับแรงดึงโดยตรงของตัวอย่างคอนกรีตรูปทรง Dog Bone แบบเสริมเจ็อกрид.....	53
ตารางที่ 4.5 กำลังรับแรงดึงโดยตรงของตัวอย่างคอนกรีตรูปทรง Dog Bone เสริมเจ็อกридแบบ ต่าง ๆ	55
ตารางที่ 4.6 ค่าเฉลี่ยกำลังรับแรงดัดของตัวอย่างคอนกรีตคานขนาด $10 \times 10 \times 50$ ซม. แบบไม่เสริมแรง และแบบเสริมเจ็อกрид.....	56

สารบัญรูป

	หน้า
รูปที่ 2.1 แผนภาพแสดงปฏิกิริยาของแคลเซียมซิลิเกต.....	16
รูปที่ 2.2 ขบวนการหน่วงปฏิกิริยาไฮเดรชั่น และขบวนการหน่วงปฏิกิริยาไฮเดรชั่น และ Ettringite ของ C ₃ A).....	17
รูปที่ 2.3 ประเภทของจีโอกริด.....	19
รูปที่ 2.4 เครื่องทดสอบแรงดึงโดยตรงตัวอย่างรูป Dog Bone.....	23
รูปที่ 2.5 ตัวอย่างรูป Dog Bone ที่ใช้ทดสอบแรงดึงโดยตรง.....	24
รูปที่ 2.6 เครื่องทดสอบแรงดึงโดยตรงตัวอย่างรูป Dog Bone.....	24
รูปที่ 2.7 ตัวอย่างรูป Dog Bone ที่ใช้ทดสอบแรงดึงโดยตรง.....	25
รูปที่ 2.8 ความเสียหายของคอนกรีตเสริมเหล็กเนื่องจากคลอไรด์โดยเหล็กเป็นสนิมดันคอนกรีต ให้แตกร้าว หรือหลุดร่อนออกมา.....	26
รูปที่ 2.9 การเกิดสนิมเหล็กเนื่องจากปฏิกิริยาไฟฟ้าเคมีเมื่อมีคลอไรด์ในคอนกรีต.....	26
รูปที่ 2.10 การแตกร้าว หลุดร่อนของคอนกรีตเนื่องจากการเกิดสนิมเหล็ก.....	28
รูปที่ 2.11 การแตกร้าว หลุดร่อนของคอนกรีตเนื่องจากการเกิดสนิมเหล็ก.....	28
รูปที่ 2.12 ลักษณะการทำลายของสารประกอบชั้ลเฟต์ต่อคอนกรีต.....	29
รูปที่ 2.13 การทดสอบการรับแรงดึงของคานโดยวิธีดัด.....	32
รูปที่ 3.1 Geogrid Biaxial.....	35
รูปที่ 3.2 สารละลายโซเดียมซัลเฟต.....	35
รูปที่ 3.3 สารละลายโซเดียมคลอไรด์.....	36
รูปที่ 3.4 ปุ๋นซีเมนต์ปอร์ตแลนด์ประเภทที่ 1.....	36
รูปที่ 3.5 เครื่องทดสอบกำลังรับแรงดึงโดยตรงหรือเครื่องทดสอบอเนกประสงค์.....	37
รูปที่ 3.6 แบบหล่อตัวอย่างคอนกรีตทรงกระบอก.....	37
รูปที่ 3.7 แบบหล่อตัวอย่างของคอนกรีตรูป Dog Bone.....	38
รูปที่ 3.8 แบบหล่อคอนกรีตคาน.....	38
รูปที่ 3.9 เครื่องผสมคอนกรีต.....	38
รูปที่ 3.10 ชุดตะแกรงร่อนทราย.....	39
รูปที่ 3.11 ชุดตะแกรงร่อนหิน.....	39
รูปที่ 3.12 เครื่องซั่งน้ำหนักระบบดิจิตอล.....	40
รูปที่ 3.13 เตรียมปุ๋นซีเมนต์ในการผสมคอนกรีตตัวอย่าง.....	40
รูปที่ 3.14 เตรียมทรายในการผสมคอนกรีตตัวอย่าง.....	41
รูปที่ 3.15 เตรียมหินในการผสมคอนกรีตตัวอย่าง.....	41
รูปที่ 3.16 ผสมส่วนผสมคอนกรีตตัวอย่าง.....	42
รูปที่ 3.17 เทคอนกรีตใส่แบบหล่อคอนกรีตทรงกระบอก และทำการกระแทกคอนกรีต.....	42

สารบัญรูป (ต่อ)

	หน้า
รูปที่ 3.18 ทำการปาดผิวหน้าคอนกรีตทรงกระบอก.....	43
รูปที่ 3.19 ขนาดของตัวอย่างคอนกรีตรูป Dog Bone และการเสริมจีโอลิโกริด.....	43
รูปที่ 3.20 ตัวอย่างคอนกรีตรูป Dog Bone เสริมจีโอลิโกริดแบบทابรอยต่อ 1 ช่อง.....	44
รูปที่ 3.21 ตัวอย่างคอนกรีตรูป Dog Bone เสริมจีโอลิโกริดแบบทابรอยต่อ 2 ช่อง.....	44
รูปที่ 3.22 ตัวอย่างคอนกรีตรูป Dog Bone เสริมจีโอลิโกริดแบบทابรอยต่อ 3 ช่อง.....	44
รูปที่ 3.23 ทำการปาดผิวหน้าคอนกรีตรูป Dog Bone หั้งแบบเสริมจีดิกริด และแบบไม่เสริมจีโอลิโกริด.....	45
รูปที่ 3.24 ตัวอย่างคอนกรีตบ่มในสารละลายโซเดียมยัลเฟต สารละลายโซเดียมคลอไรด์ และน้ำ.....	45
รูปที่ 3.25 ตัวอย่างคอนกรีตรูป Dog Bone.....	45
รูปที่ 3.26 เทคอนกรีตลงแบบหล่อคอนกรีตแบบคาน ทำการกระทุ้งและปาดผิวหน้าให้เรียบ.....	46
รูปที่ 3.27 ทำการทดสอบกำลังรับแรงอัดตัวอย่างคอนกรีตรูปทรงกระบอก.....	46
รูปที่ 3.28 ตำแหน่งการเสริมจีโอลิโกริดของตัวอย่างคอนกรีตคาน.....	47
รูปที่ 3.29 ทำการทดสอบกำลังรับแรงดึงโดยตรงตัวอย่างคอนกรีตรูปตัว Dog Bone.....	47
รูปที่ 3.30 ทำการทดสอบกำลังรับแรงดัดตัวอย่างคอนกรีตแบบคาน.....	48
รูปที่ 4.1 ความสัมพันธ์ระหว่างกำลังรับแรงอัดและตัวอย่างคอนกรีตรูปทรงกระบอกที่บ่มในน้ำ ประเภทต่างๆ ที่อายุ 28 วัน และ 180 วัน.....	48
รูปที่ 4.2 ความสัมพันธ์ระหว่างกำลังรับแรงดึงกับตัวอย่างคอนกรีตรูปทรง Dog Bone ไม่เสริมแรงที่บ่มในน้ำชนิดต่างๆ ที่อายุ 28 วัน และ 180 วัน.....	49
รูปที่ 4.3 ความสัมพันธ์ระหว่างกำลังรับแรงดึงกับตัวอย่างคอนกรีตรูปทรง Dog Bone แบบเสริมเหล็กໄว์เร็มซึ่งที่บ่มในน้ำชนิดต่างๆ ที่อายุ 28 วัน และ 180 วัน.....	50
รูปที่ 4.4 ความสัมพันธ์ระหว่างกำลังรับแรงดึงกับตัวอย่างคอนกรีตรูปทรง Dog Bone แบบเสริมจีโอลิโกริดที่บ่มในน้ำชนิดต่างๆ ที่อายุ 28 วัน และ 180 วัน.....	51
รูปที่ 4.5 ความสัมพันธ์ระหว่างกำลังรับแรงดึงกับตัวอย่างคอนกรีตรูปทรง Dog Bone แบบเสริมจีโอลิโกริดที่บ่มในน้ำชนิดต่างๆ ที่อายุ 28 วัน และ 180 วัน.....	52
รูปที่ 4.6 ความสัมพันธ์ระหว่างกำลังรับแรงดึงกับตัวอย่างคอนกรีตรูปทรง Dog Bone แบบไม่เสริมแรงแบบเสริมจีโอลิโกริด แบบเสริมจีโอลิโกริดแบบทابรอยต่อ 1 ช่อง 2 ช่อง และ 3 ช่อง ที่อายุ 7 14 และ 28 วัน.....	53
รูปที่ 4.7 ความสัมพันธ์ระหว่างกำลังรับแรงดึงกับตัวอย่างคอนกรีตรูป Dog Bone แบบไม่เสริมแรงแบบเสริมจีโอลิโกริด และเสริมจีโอลิโกริดแบบทابรอยต่อ 1 ช่อง 2 ช่อง และ 3 ช่อง ที่อายุ 7 14 และ 28 วัน.....	54
รูปที่ 4.8 ความสัมพันธ์ระหว่างกำลังแรงดัดเฉลี่ยของตัวอย่างคอนกรีตคานแบบไม่เสริมจีโอลิโกริด และแบบเสริมจีโอลิโกริด ที่อายุ 7 14 และ 28 วัน.....	55

สารบัญรูป (ต่อ)

หน้า

รูปที่ 4.9 การวิบัติของตัวอย่างคอนกรีตคานแบบไม่เสริมจีโอกริดและแบบเสริมจีโอกริด 55



บทที่ 1

บทนำ

1.1 ความเป็นมาและความสำคัญของปัญหา

เนื่องจากในปัจจุบันมีสิ่งก่อสร้างมากมายอาทิเช่น ถนน อาคาร สิ่งปลูกสร้าง ที่พักอาศัยฯ ซึ่งส่วนมากจะใช้โครงสร้างที่เป็นคอนกรีตเสริมเหล็ก สืบเนื่องจากการใช้เหล็กเป็นส่วนหนึ่งของโครงสร้าง คอนกรีตเสริมเหล็ก เมื่อระยะเวลาผ่านไปโดยพุทธิกรรมของเหล็ก เหล็กจะเกิดปฏิกิริยาออกซิเดชัน หรือถูกออกซิไดซ์ ทำให้เกิดเกิดสนิมและการสึกกร่อนของเหล็ก เนื่องจากเหล็กกับสารประกอบต่างๆ ที่ประจำในสิ่งแวดล้อม ที่สัมผัสอากาศนั้นๆ กระบวนการเกิดสนิมของเหล็กโดยเฉพาะการเกิดสนิมในเหล็กที่มีวัสดุอื่นคลุมผิว เช่น เหล็กเสริมในคอนกรีต เมื่อเหล็กเสริมคอนกรีตเริ่มเกิดเป็นสนิมขึ้นแล้วก็ จะมีการพัฒนาปริมาณเพิ่มมากขึ้น โครงสร้างของอาคารหรือสิ่งปลูกสร้าง จะถูกทำลายให้เกิดการสูญเสียกำลัง จากขนาดพื้นที่หน้าตัดของเหล็กเสริมลดลง การสูญเสียแรงยึดเหนี่ยวระหว่างเหล็กเสริมกับคอนกรีต และเกิดรอยแตกร้าวหลุดร่อนออกของคอนกรีตที่หุ้มผิวเหล็กเสริม จึงทำให้โครงสร้างสูญเสียความมั่นคงแข็งแรง และอาจทำให้ไม่สามารถรับน้ำหนักบรรทุกได้ และอาจเป็นสาเหตุให้เกิดความเสียหายหรือการวินาศีของโครงสร้างได้

ในปัจจุบันวิวัฒนาการเกี่ยวกับเทคโนโลยีการก่อสร้างได้พัฒนาอย่างต่อเนื่อง ทำให้มีวัสดุที่นำมาใช้ทดแทนเหล็กเสริมในคอนกรีต จากการวิจัยนี้ได้จัดทำวัสดุ Geosynthetics ชนิด Geogrid โดยมีวัสดุประสงค์สำหรับทดแทนเหล็กเสริมในคอนกรีตเสริมเหล็ก จีโอกริด (Geogrid) คือ วัสดุ ไส้สังเคราะห์ที่ใช้สำหรับเสริมแรงในดินหรือในวัสดุที่ใกล้เคียงกัน วัสดุ Geogrid ใช้งานทั่วไปสำหรับการเสริมแรงในกำแพงกันดิน รวมถึงการเสริมแรงในชั้นทางหรือชั้นดินใต้ถนน ซึ่งดินบดอัดใต้ถนนจะเกิดหน่วยแรงดึงขึ้นเมื่อมีน้ำหนักจากยานพาหนะเข้ามากระทำซึ่ง Geogrid จะช่วยรับแรงดึงที่เกิดขึ้น Geogrid เป็นวัสดุที่รับแรงดึงได้สูง โดยทั่วไปวัสดุ Geogrid ทำขึ้นจากวัสดุ polymer วัสดุ Geogrid อาจเป็น woven หรือ knitted มาจากเส้นด้าย หรือ heat-welded จากແບບของวัสดุ หรือ ผลิตภัณฑ์โดยการเจารูในแผ่นวัสดุแล้วยึดวัสดุให้เป็นตาราง เป็นต้น

1.2 วัตถุประสงค์

1.2.1 เพื่อศึกษาผลกระทบของชนิดของสารเคมีต่อกำลังรับแรงอัดของตัวอย่างคอนกรีต รูปทรงกรอบอก

1.2.2 เพื่อศึกษาผลกระทบของสารละลายน้ำเดี่ยมชัลเฟตและสารละลายน้ำเดี่ยมคลอไรด์ในการบ่มต่อกำลังรับแรงดึงโดยตรงของคอนกรีตรูป Dog Bone แบบไม่เสริมแรง แบบเสริมแรงด้วยเหล็กตะแกรงไวน์เมช และแบบเสริมแรงด้วยจีโกริด

1.2.3 เพื่อศึกษากำลังรับแรงดึงโดยตรงของคอนกรีตรูป Dog Bone แบบไม่เสริมแรง แบบเสริมแรงด้วยจีโกริด แบบเสริมแรงด้วยจีโกริดแบบทารอยต่อ 1 ซอง 2 ซอง และ 3 ซอง

1.2.4 เพื่อศึกษากำลังรับแรงดัดของตัวอย่างคอนกรีตคานแบบไม่เสริมจีโกริด และเสริมแรงด้วยจีโกริด

1.3 ขอบเขตของการศึกษา

1.3.1 กำลังอัดของคอนกรีตที่ใช้ทดสอบเท่ากับ 200 กก./ซม.²

1.3.2 เปรียบเทียบกำลังรับแรงอัดของคอนกรีตทรงกระบอกที่บ่มในน้ำ บ่มในสารละลายน้ำเดี่ยมชัลเฟต และบ่มในสารละลายน้ำเดี่ยมคลอไรด์ ที่มีความเข้มข้นเป็นร้อยละ 5 โดยน้ำหนักทดสอบที่อายุ 28 วัน และ 180 วัน

1.3.3 เปรียบเทียบกำลังรับแรงดึงโดยตรงของตัวอย่างคอนกรีตรูป Dog Bone แบบไม่เสริมจีโกริด แบบเสริมเหล็กไวน์เมช และแบบเสริมจีโกริด ที่บ่มในน้ำ บ่มในสารละลายน้ำเดี่ยมชัลเฟต และบ่มในสารละลายน้ำเดี่ยมคลอไรด์ที่มีความเข้มข้นเป็นร้อยละ 5 โดยน้ำหนักทดสอบที่อายุ 28 วัน และ 180 วัน

1.3.4 เปรียบเทียบกำลังรับแรงดึงโดยตรงของตัวอย่างคอนกรีตรูป Dog Bone แบบไม่เสริมจีโกริด แบบเสริมจีโกริด แบบเสริมจีโกริดแบบทารอยต่อ 1, 2 และ 3 ซอง ทดสอบที่อายุ 7, 14 และ 28 วัน

1.3.5 ทดสอบกำลังรับแรงดัดของตัวอย่างคานคอนกรีตแบบไม่เสริมจีโกริด และเสริมด้วยจีโกริด ทดสอบที่อายุ 7, 14 และ 28 วัน

1.4 นิยามศัพท์เฉพาะ

1.4.1 ปูนซีเมนต์ปอร์ตแลนด์ คือ ปูนซีเมนต์ประเภท 1 ซึ่งใช้กันอย่างแพร่หลายในงานก่อสร้างในปัจจุบันใช้เป็นวัตถุดิบหลักในการผลิตคอนกรีต ปูนมอร์ต้าร์ และปูนซีเมนต์สูตรพิเศษประเภทต่างๆ มีส่วนผสมหลักโดยมี หินปูน หินดินดาน ดินลูกรัง และทราย รวมไปถึงการเพิ่มสารอื่นๆ เพื่อช่วยพัฒนาคุณภาพของปูนซีเมนต์ เช่น ยิปซัม สารปอชโซลาน สารลดน้ำ เป็นต้น มีลักษณะเป็นผงเมื่อผสม คลุกกับน้ำแล้วทึบไว้จะเกิดปฏิกิริยาทางเคมี มีผลทำให้เกิดการก่อตัวและแข็งตัวได้

1.4.2 จีโกริด คือ ตาก่ายเสริมกำลังดิน เป็นแผ่นที่มีการผลิตจากการประสานเส้นวัสดุจำพวกโพลิเมอร์ (Polymer) ให้เป็นแผ่นตารางขนาดต่างๆ โดยช่องว่างบนแผ่นมีขนาดใหญ่และเส้นวัสดุที่นำมาเพื่อประสานนั้นจะมีขนาดที่ใหญ่กว่าเส้นใยของแผ่นเส้นใยสังเคราะห์ (Geotextiles) ซึ่งการประสานวัสดุ

อาจทำโดยการถักหอหรือใช้เทคนิควีอีนๆ คุณประโยชน์หลักจีโกริด คือการเสริมแรงหรือเสริมความคงทนเกือบทั้งหมด การยึดตัวจะมีระยะที่ต่ำกว่าแผ่นไส้สังเคราะห์และสามารถผลิตให้มีการรับแรงดึงได้สูง

1.5 ประโยชน์ที่คาดว่าจะได้รับ

- 1.4.1 ทราบถึงความสามารถในการกำลังรับแรงดึง และแรงดัดของคอนกรีตเสริมแรงด้วยจีโกริด
- 1.4.2 ทราบผลกระทบของสารละลายโซเดียมซัลเฟต และสารละลายโซเดียมคลอไรด์ต่อการรับแรงของคอนกรีตเสริมจีโกริด
- 1.4.3 เพื่อใช้เป็นข้อมูลเบื้องต้นในการนำวัสดุจีโกริดเป็นวัสดุทางเลือกนิดใหม่ที่ใช้ทดแทนเหล็กได้



บทที่ 2

ทฤษฎีและงานวิจัยที่เกี่ยวข้อง

2.1 ทฤษฎีที่เกี่ยวข้อง

2.1.1 ปูนซีเมนต์ปอร์ตแลนด์ประเภทที่ 1 [1]

ปูนซีเมนต์ปอร์ตแลนด์ประเภทที่ 1 นิยมใช้กันเป็นจำนวนมากในงานคอนกรีตโดยประมาณ 90 เปอร์เซ็นต์ ที่ผลิตในประเทศไทยและสหราชอาณาจักร เป็นปูนซีเมนต์ประเภทนี้ สำหรับการใช้งานคอนกรีตหรือผลิตภัณฑ์อุตสาหกรรมใดที่อาจไม่ต้องการคุณภาพพิเศษ และใช้ในการก่อสร้างตามปกติทั่วไป เช่น เสาคาน ฐานราก ถนน เป็นต้น ปูนซีเมนต์ชนิดนี้ให้กำลังสูงในระยะเวลาไม่รวดเร็วมากนักและให้ความร้อนปานกลาง

2.1.2 ปฏิกิริยาไฮเดรชัน [2]

การก่อตัวและแข็งตัวของซีเมนต์ เกิดปฏิกิริยาไฮเดรชันของซีเมนต์ จะเกิดองค์ประกอบ 2 ลักษณะ คือ

2.1.2.1 ต้องใช้สารละลาย ซีเมนต์จะละลายในน้ำ ก่อให้เกิดไอโอนนีจัสมกันทำให้เกิดสารประกอบขึ้นใหม่

2.1.2.2 การเกิดของปฏิกิริยาระหว่างของแข็ง ปฏิกิริยาเกิดขึ้นโดยตรงที่ผิวของของแข็ง โดยไม่จำเป็นต้องใช้สารละลายปฏิกิริยาประเภทนี้เรียกว่า “Solid State Reaction”

ปฏิกิริยาไฮเดรชันของซีเมนต์จะเกิดขึ้นทั้ง 2 ลักษณะ โดยในช่วงแรกจะอาศัยสารละลายและช่วงถัดไปจะเกิดปฏิกิริยาระหว่างของแข็งซีเมนต์ประกอบไปด้วยสารประกอบหลายชนิด เมื่อเกิดปฏิกิริยาไฮเดรชัน ผลิตภัณฑ์ที่จะได้อาจเกิดปฏิกิริยาต่อไป ทำให้มันแตกต่างจากผลิตภัณฑ์ที่ได้ครั้งแรก ดังนั้นในที่นี้เราจะแยกพิจารณาปฏิกิริยาไฮเดรชันของสารประกอบหลักของซีเมนต์ 4 ประเภท ดังนี้

1. แคลเซียมซิลิเกต (C_3S, C_2S) แคลเซียมซิลิเกต จะทำปฏิกิริยากับน้ำก่อให้เกิด $Ca(OH)_2$ และ Calcium Silicate Hydrate (CSH) ที่ทำหน้าที่เป็นตัวประสาน ดังแสดงในรูปที่ (2.1) และสมการ (2.2) เกิดปฏิกิริยาดังนี้

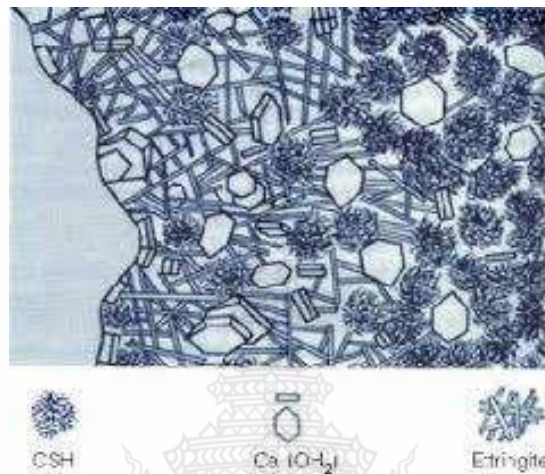


หรือ





หรือ

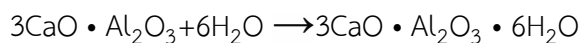


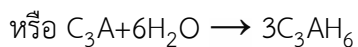
รูปที่ 2.1 แผนภาพแสดงปฏิกิริยาของแคลเซียมซิลิกेट [2]

จากปฏิกิริยาไฮเดรชันน์ จะเกิด Gel ซึ่งเมื่อเกิดแข็งตัวจะมีลักษณะที่สำคัญ 2 ประการ คือ โครงสร้างที่ไม่สม่ำเสมอและมีรูพรุน องค์ประกอบทางเคมีของ CSH นี้ ขึ้นอยู่กับ เวลา อุณหภูมิ และอัตราส่วนน้ำต่อซีเมนต์ ในที่นี้จะใช้ตัวย่อ CSH แทน Calcium SiliCate Hydate ที่เกิดขึ้นไม่ว่าจะ มีองค์ประกอบและโครงสร้างเป็นอย่างไร Ca(OH)_2 ที่ได้จากปฏิกิริยาไฮเดรชัน ทำให้ซีเมนต์เพสต์ มีคุณสมบัติเป็นต่างอย่างมาก คือมี pH ประมาณ 12.5 ซึ่งจะช่วยป้องกันการกัดกร่อนของเหล็กเสริมได้ อย่างดีมาก

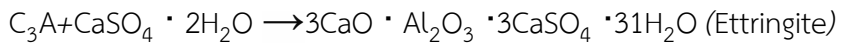
2) ไตรแคลเซียมอลูมิเนต (C_3A)

ปฏิกิริยาไฮเดรชันของ C_3A จะเกิดขึ้นทันทีทันใด และก่อให้เกิดการแข็งตัวอย่างรวดเร็วของ ซีเมนต์เพสต์ ดังสมการ (2.3)

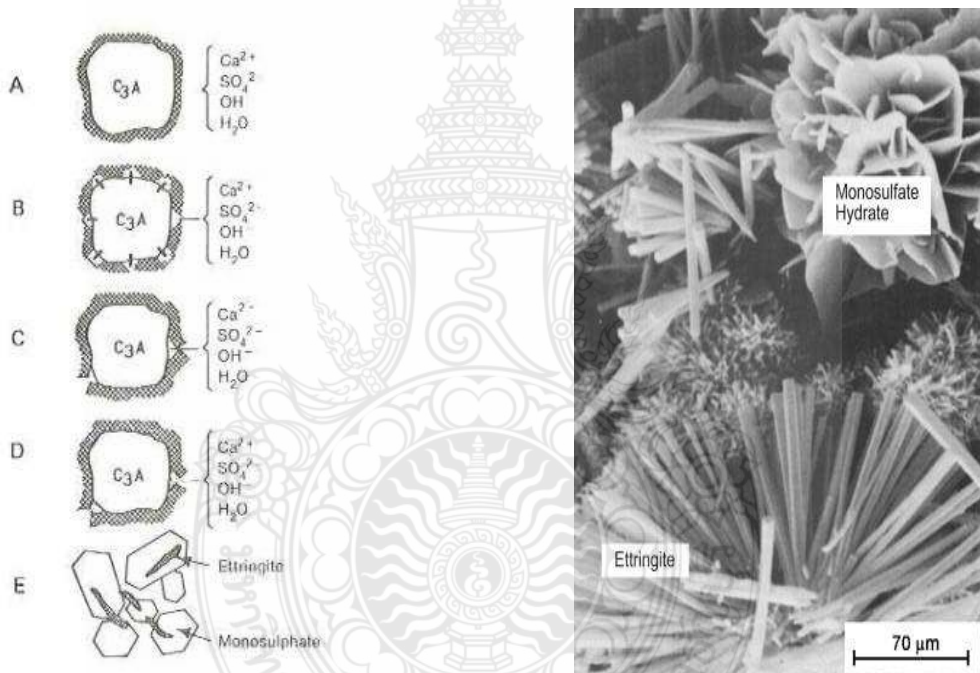




เพื่อที่จะหน่วงไม่ให้เกิดปฏิกิริยานี้อย่างรวดเร็ว จึงใส่ยิบชั่ม ($\text{CaSO}_4 \cdot 2\text{H}_2\text{O}$) เข้าไปในระหว่างกระบวนการบดซีเมนต์ ยิบชั่มจะทำปฏิกิริยากับ C_3A ก่อให้เกิดชั้นของ Ettringite บนผิวของอนุภาค C_3A ดังสมการ



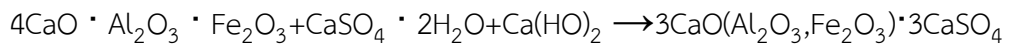
แต่เมื่อเกิดการแตกตัว จะเกิด Ettringite ใหม่เข้าไปแทนที่คือการหน่วงปฏิกิริยาไฮเดรชัน อีกครั้งหนึ่ง ขั้นตอนจะเป็นเช่นนี้ ไปจน Sulphate Ions มีปริมาณไม่มากเพียงพอที่จะทำให้เกิด Ettringite จะเกิดปฏิกิริยาไฮเดรชัน C_3A โดยเปลี่ยน Ettringite ไปเป็น Monosulphate ดังแสดง



รูปที่ 2.2 ขบวนการหน่วงปฏิกิริยาไฮเดรชัน และขบวนการหน่วงปฏิกิริยาไฮเดรชัน และ Ettringite[2] ของ C_3A)[2]

3) เตตราแคลเซียม อลูมิโนเฟอร์ไรท์ (C_4AF)

ปฏิกิริยาไฮเดรชันของ (C_4AF) นี้จะเกิดขึ้นในช่วงต้น โดย (C_4AF) จะทำให้ปฏิกิริยากับยิบชั่ม และ $\text{Ca}(\text{OH})_2$ ทำให้เกิดอนุภาคที่มีรูปร่างเหมือนเข็มของ Sulphoaluminate และ Sulphoferrite ดังสมการ (2.5)



เวลาที่ใช้เพื่อให้ถึง 80% ของปฏิกิริยาไออกเรชั่นของสารประกอบหลักทั้ง 4 แสดงในตาราง 2.1

ตารางที่ 2.1 เวลาที่ทำให้ปฏิกิริยาไออกเรชั่นของสารประกอบหลักสำเร็จ 80%

สารประกอบหลัก	เวลา (วัน)
ไตรแคลเซียมซิลิกेट (C_3S)	10
ไดแคลเซียมซิลิกेट (C_2S)	100
ไตรแคลเซียมอะลูมิเนต (C_3A)	6
เตตราแคลเซียมอะลูมิโนเฟอร์ไรท์ (C_4AF)	50

2.1.3 Geogrid [8]

วัสดุไส้สังเคราะห์ที่ใช้สำหรับเสริมแรงในดินหรือในวัสดุที่ใกล้เคียงกัน โดยทั่วไปแล้ววัสดุ Geogrid จะใช้เพื่อเสริมกำลังกำแพงกันดิน ตลอดจนการเสริมแรงในชั้นทาง ชั้นดินใต้ถนนหรือ โครงสร้าง ซึ่งดินบดอัดใต้ถนนจะเกิดหน่วยแรงดึงขึ้นเมื่อมีน้ำหนักจากยานพาหนะหรือวัตถุเข้ามา กระทำซึ่ง Geogrid จะช่วยรับแรงดึงที่เกิดขึ้นซึ่ง Geogrid เป็นวัสดุที่รับแรงดึงได้สูง โดยทั่วไปวัสดุ Geogrid ทำขึ้นจากวัสดุ polymer วัสดุ Geogrid อาจจะเป็น woven หรือ knitted มาจากเส้นด้าย หรือ heat-welded จากแบบของวัสดุ หรือ ผลิตภัณฑ์โดยการเจาะรูในแผ่นวัสดุแล้วยึดวัสดุแก้ให้เป็น ตาราง เป็นต้น

2.1.3.1 คุณสมบัติของจีโอกริด

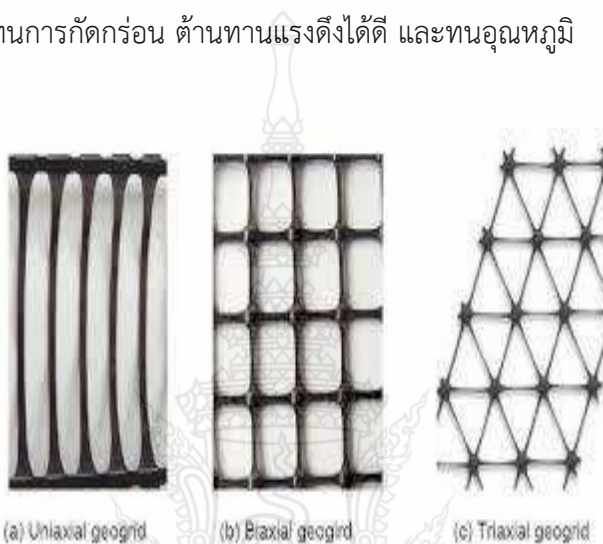
- 1.) แรงดึงสูงในขณะการยืดตัวต่ำ
- 2.) มีความล้ำต่ำ
- 3.) ทนทานต่อความเสียหายระหว่างการติดตั้ง
- 4.) มีความต้านทานต่อสารเคมีและชีวภาพสูง
- 5.) มีความสามารถในการยึดเหนี่ยว กับคอนกรีต
- 6.) ติดตั้งได้ง่ายและรวดเร็ว

2.1.3.2 ประเภทของจีโอกริด

- 1.) Uniaxial geogrid สามารถรับแรง 2 ทิศทางไม่เท่ากัน
- 2.) Biaxial geogrid สามารถรับแรง 2 ทิศทางได้เท่ากัน
- 3.) Triangular geogrid สามารถรับแรง 3 ทิศทางได้เท่ากัน

2.1.3.3 การใช้งาน

- 1.) จีโอกริดใช้ในงานลาดชัน ช่วยปรับปรุงการยึดเกาะของดินบนพื้นผิวแรงดึงของ จีโอกริด ช่วยรับภาระของแรง ที่เกิดจากการทำให้แยกออกจากกันทำให้ได้ความลาดชันตามที่ต้องการจีโอกริดในผนังยึดต้านแรงบนผนังยึด ง่ายต่อการใช้จีโอกริดในการยึดผนังผนัง
- 2.) การใช้จีโอกริดในคอนกรีต สามารถทนสารเคมี สารละลายกรดและด่างได้ ไม่ถูกทำลายโดยสิ่งมีชีวิตขนาดเล็ก ทนการกัดกร่อน ต้านทานแรงดึงได้ดี และทนอุณหภูมิ



รูปที่ 2.3 ประเภทของจีโอกริด [8]

2.1.4 น้ำ [1]

2.1.4.1 น้ำสำหรับผสมคอนกรีต [1]

น้ำที่ใช้ผสมคอนกรีตถ้ามีสารแปรกลบลอมเจือปนอยู่มากเกินไปอาจก่อปัญหาด้านระยะเวลาในการก่อตัว การทดสอบของคอนกรีต การมีรอยคราบเกลือ (efflorescence) อยู่ที่พื้นผิวของคอนกรีตกำลังที่ต่ำลง ตลอดจนความคงทนของคอนกรีตลดลง สารแปรกลบลอมเหล่านี้อาจสามารถแบ่งออกได้เป็นสารแ徊นโลย สารละลายอนินทรีย์ และสารละลายอินทรีย์

2.1.4.2 น้ำสำหรับบ่มคอนกรีต [1]

ในทางปฏิบัติจะใช้น้ำสะอาดที่มีคุณภาพเดียวกันกับน้ำที่ใช้ผสมคอนกรีตด้วย แต่ไม่ควรมีสารที่ทำลายคอนกรีตอยู่ในน้ำ เช่น สารซัลเฟตและกรดต่างๆ นอกจากนี้การใช้น้ำทะเลบ่มคอนกรีตอาจทำให้เหล็กเสริมเป็นสนิมได้ ส่วนน้ำที่มีสนิมเหล็ก ดินตะกอน หรือเกลือผสมอยู่จะทำให้ผิวของคอนกรีตเป็นรอยด่างแลดูไม่สวยงาม ถ้าน้ำมีน้ำมันผสมอยู่ก็จะทำให้ผิวของคอนกรีตสกปรกและทาสีทับได้ยาก

2.1.4.3 น้ำสำหรับล้างมวลรวม [1]

น้ำสำหรับล้างทำความสะอาดมวลรวมควรจะเป็นน้ำที่มีคุณสมบัติเดียวกับน้ำที่ใช้ผสมคอนกรีต การใช้น้ำที่มีสิ่งแปรปัจฉน์เจือปนอยู่ เช่น พากดินตะกอน สารอินทรีย์ และเกลือต่างๆ เพื่อล้างมวลรวมจะทำให้สิ่งแปรปัจฉน์เหล่านี้จะอยู่ที่ผิวของมวลรวมและอาจมีผลต่อการยึดเหนี่ยวระหว่างชิ้นเม้นต์เพสต์กับมวลรวมหรือมีผลต่อการทำปฏิกิริยาของปูนซีเมนต์กับน้ำ ส่งผลให้คุณภาพของคอนกรีตด้อยลงได้

2.1.5 การทดสอบหาค่าอยุบตัว [1]

การทดสอบเพื่อหาค่าอยุบตัว (slump test) เป็นวิธีที่ใช้กันมาอย่างนานและเป็นที่นิยมมากที่สุด เพราะทำได้ง่าย ใช้เวลาสั้นๆ เหมาะสำหรับการทดสอบคอนกรีตในภาค เครื่องมือประกอบด้วยกรวยตัดและเหล็กกระถุก กรวยด้านบนมีขนาดเส้นผ่านศูนย์กลาง 102 มม. ด้านล่างมีขนาดเส้นผ่านศูนย์กลาง 203 มม. ความสูง 305 มม. มีหูจับ และมีแผ่นโลหะยื่นออกมาสำหรับเท้าเหยียบหั้งสองข้าง ส่วนเหล็กที่ใช้กระถุกมีขนาดเส้นผ่านศูนย์กลาง 16 มม. ยาว 600 มม. ปลายหั้ง 2 ด้านคลุมมน

ทดสอบโดยใช้มาตรฐาน ASTM C143 โดยเทคโนโลยีทดสอบในแบบ 3 ชั้น ทุกชั้นจะกระถุกด้วยเหล็กกระถุก 25 ครั้งกระจายให้ทั่วทั้งหน้าตัด เมื่อครบ 3 ชั้น ปิดหน้าคอนกรีตให้เรียบได้ระดับกับขอบกรวย เมื่อยกแบบขึ้นตามแนวตั้ง คอนกรีตจะยุบลงมา ค่าอยุบตัวอาจมีความคาดเคลื่อนจากความเสียดทานกับผิวด้านในของกรวยตัด ดังนั้นก่อนทำการทดสอบจึงต้องทำให้ผิวด้านในของกรวยเปียกเพื่อลดแรงเสียดทานของการวัดค่าอยุบตัวของคอนกรีตควรวัดให้ละเอียดถึง 5 มม.

ลักษณะของการยุบตัวของคอนกรีตที่พบมีอยู่ 3 แบบคือ การยุบตัวจริง (true slump) การยุบตัวแบบเฉือน (shear slump) และการยุบตัวแบบห隼 (collapse slump) การยุบตัวจริงนั้นเกิดจากการทรุดตัวของคอนกรีตด้วยน้ำหนักของตัวเอง คอนกรีตที่มีส่วนผสมของวัสดุละเอียดและheavyที่ดีส่วนมากแล้วมีการยุบตัวจริง การยุบตัวเฉือนจะเกิดจากการเลื่อนไอลของคอนกรีตในส่วนบนซึ่งจะเฉือนลงไปด้านข้าง หากการทดสอบในครั้งแรกได้ผลเป็นการยุบตัวแบบเฉือน ควรทำการทดสอบคอนกรีตซ้ำอีกครั้ง เพราะการยุบตัวแบบเฉือนอาจจะเกิดจากผลกระทบภายนอกที่ไม่ต่อง แต่ถ้าทดสอบซ้ำอีกครั้งยังได้ผลเป็นการยุบตัวแบบเฉือนเช่นเดิม แสดงว่าคอนกรีตดังกล่าวมีความกระต้างไม่ยึดเกาะกัน เพราะมีส่วนผสมของวัสดุheavy (หิน) ค่อนข้างมากหรือมีปูนซีเมนต์น้อยเกินไป ซึ่งต้องทำการปรับปรุงส่วนผสมใหม่ให้การยุบตัวจริง การยุบตัวห隼เกิดเมื่อคอนกรีตมีน้ำผึ้งมากจนทำให้เหลวและยุบตัวลงเหลือกองติดพื้น คอนกรีตที่มีการยุบตัวแบบห隼ควรระมัดระวัง เพราะอาจเกิดการแยกตัวได้ง่ายถ้ามีการจี้เขย่าคอนกรีตมากเกินไป

คอนกรีตที่มีส่วนผสมที่คล้ายคลึงกันจะสามารถทำให้ใกล้เคียงกันเมื่อมีค่าอยุบตัวเท่ากัน ในทางกลับกันเมื่อคอนกรีตสดทั้งสองชนิดมีค่าการยุบตัวเท่ากัน คอนกรีตทั้งสองอาจต่างกันมากเช่นกัน

ค่อนกรีตชนิดแรกที่มีค่าอยุบตัวต่ำ เพราะกระด้างและมีน้ำผึ้งอยู่ในร่อง และค่อนกรีตอีกชนิดหนึ่งอาจมีค่าการอยุบตัวต่ำ เช่นกันแต่จะมีการเกาะตัวดี การทดสอบค่าอยุบตัวไม่สามารถแยกแยะความสามารถที่จะได้ของค่อนกรีตที่มีค่าอยุบตัวต่ำ เช่น มีค่าการอยุบตัวเป็นศูนย์ดังนั้นจึงต้องทำการวัดความสามารถที่จะได้ของค่อนกรีตที่มีค่าการอยุบตัวต่ำมากด้วยวิธีอื่น

2.1.6 การบ่มชี้น [1]

วิธีการบ่มตัวอย่างค่อนกรีตที่นิยมทำกันได้แก่การใช้น้ำพ่น การขังน้ำ และการใช้กระสอบชี้น หรือวัสดุที่เปียกชื้นคลุมทับค่อนกรีต เนื่องจากผิวค่อนกรีตที่สัมผัสอากาศจะสูญเสียความชื้นได้ง่ายจึงควรให้ความชื้นหรือน้ำทันทีที่ค่อนกรีตแข็งแรงพอหรือทันทีที่ถอดแบบ น้ำที่ใช้ในการบ่มค่อนกรีตควรเป็นน้ำที่ไม่ก่อให้เกิดคราบสกปรกบนผิวน้ำของค่อนกรีต โดยเฉพาะอย่างยิ่งในกรณีที่ต้องการใช้วิธีการบ่มชี้น หัวน้ำค่อนกรีต รอยคราบสกปรกเหล่านี้มักเกิดจากการใช้น้ำที่มีสิ่นปลูกหลังสูง หรือใช้น้ำที่แหล่งที่มาเหล็กในการฉีดน้ำสำหรับบ่มค่อนกรีต การใช้สายยางฉีดน้ำเพื่อใช้ในการบ่มค่อนกรีตสามารถลดปัญหาดังกล่าวได้ดี

2.1.7 การทำค่อนกรีตให้แน่น [1]

ภายหลังการเทค่อนกรีตเข้าสู่แบบแล้วจะทำให้ค่อนกรีตแน่นเพื่อลดซึ่งว่างและฟองอากาศ ส่วนใหญ่จะทำให้แน่นโดยใช้เครื่องสั่น (vibrator) โดยเฉพาะค่อนกรีตที่มีค่าการอยุบตัวต่ำ แต่ค่อนกรีตที่มีค่าอยุบตัวค่อนข้างสูงอาจใช้เหล็กกระถุกแทนการเขย่าเพื่อไม่ให้เกิดการแยกตัวของค่อนกรีต เครื่องสั่นแบบจุ่มหัว (immersion or poker vibrator) ใช้สำหรับการสั่นเนื้อค่อนกรีตโดยตรงจึงมีประสิทธิภาพสูงและเป็นที่นิยมใช้กันมาก เครื่องสั่นแบบจุ่มหัวมีความถี่ของการสั่นระหว่าง 4,000 ถึง 12,000 รอบต่อนาที ขณะที่เครื่องสั่นแบบภายนอก (external vibrator) มีความถี่ 2,000 ถึง 8,000 รอบต่อนาที และใช้ยึดติดกับแบบเพื่อสั่นทั้งค่อนกรีตและแบบไปพร้อมกัน โดยที่แบบต้องแข็งแรงและต้องอยู่บนที่รองรับที่ยึดหยุ่น เครื่องสั่นแบบภายนอกจะใช้ในงานค่อนกรีตสำเร็จรูป หรือสำหรับการเทค่อนกรีตชั้นบางหรือเป็นรูปโถคงที่ไม่เหมาะสมในการใช้เครื่องสั่นแบบหัวจุ่มค่อนกรีตสุดที่มีความสามารถในการเทได้สูงจะมีฟองอากาศอยู่ประมาณร้อยละ 5 และอาจเพิ่มมากขึ้นเป็นร้อยละ 20 สำหรับค่อนกรีตที่มีค่าอยุบตัวต่ำ เครื่องสั่นค่อนกรีตแบบหัวจุ่มจะส่งพลังงานจากหัวจุ่มไปสู่ค่อนกรีตที่ต้องการทำให้แน่น ทำให้ส่วนผสมในค่อนกรีตเกิดการเคลื่อนที่ ลดแรงเสียดทานภายในลงและปรับส่วนผสมให้แน่นขึ้น ໄล่ฟองอากาศให้ลอยขึ้นมาอย่างผิวน้ำค่อนกรีตทำให้ค่อนกรีตมีความหนาแน่นเพิ่มขึ้น ในการทำงานให้จุ่มลงในค่อนกรีตตามแนวตั้งทุกระยะ 0.5 ถึง 1.0 เมตร เวลาที่ใช้ในการสั่นค่อนกรีตให้แน่นจะเป็นระยะเวลาความสามารถในการเทค่อนกรีตและประสิทธิภาพของหัวจุ่มที่ใช้ โดยทั่วไปพบว่าคราวจุ่มหัวจุ่มลงในค่อนกรีตประมาณ 5 ถึง 30 วินาที แต่ถ้าส่วนผสมเข้มข้นหรือเหนียวมากควรเพิ่มเวลาให้นานขึ้นซึ่งอาจนานถึง 2 นาที เวลาในการจุ่มหัวจุ่มลงในค่อนกรีตที่พอกemoะสังเกตได้จากการที่ผิวค่อนกรีตจะเริ่มเรียบและไม่เป็นโพรง

การสั่นนานจะทำให้มีมอร์ต้าร์ลอยอยู่ที่ผิวน้ำมากเกินไป การถอนหัวจุ่มออกจากคอนกรีตไม่ควรถอนหัวจุ่มเร็วเกินไปควรถอนด้วยอัตราประมาณ 8 ซม./วินาที เพื่อทำให้ช่องว่างที่เกิดจากการถอนหัวจุ่มปิดด้วยตัวเองได้สนิท การจุ่มหัวจุ่มต้องจุ่มให้สุดความลึกของคอนกรีตของคอนกรีตที่เทหรือลีกลงไปประมาณ 2-3 ซม. ของขันคอนกรีตที่เทไปก่อนถ้าคอนกรีตขันล่างยังคงอยู่ในสภาพพลาสติก นอกจากเครื่องสั่นแบบหัวจุ่มและเครื่องสั่นแบบภายนอกแล้วยังมีเครื่องสั่นคอนกรีตแบบโต๊ะ ซึ่งนิยมใช้ในงานสำเร็จรูปและในห้องปฏิบัติการ

การสั่น้ำ (Revibration) 1 ถึง 2 ชม. หลังจากการอัดแน่นครั้งแรก จะทำให้กำลังอัดของคอนกรีตสูงขึ้น โดยที่ว่าไปแล้วการเพิ่มขึ้นของกำลังจะขึ้นกับความข้นเหลวของส่วนผสม ส่วนผสมที่เยิ่มนำสูงเมื่อได้รับการสั่น้ำจะทำให้น้ำที่กักอยู่ในมวลรวมถูกขัดออกไปทำให้กำลังตื้อขึ้นและทำให้การยึดเหนี่ยวของคอนกรีตกับเหล็กเสริมได้ดีขึ้นด้วย

อย่างไรก็ตามเทคนิคการสั่น้ำไม่นิยมนิยมนำมาใช้ในงานคอนกรีตโดยที่ว่าไป เพราะทำให้ค่าก่อสร้างมีราคาสูงขึ้น และหากทำการสั่น้ำภายในห้องจาก การก่อตัวของคอนกรีตเป็นเวลานานเกินไปอาจส่งผลเสียหายต่อคอนกรีตได้

สำหรับคอนกรีตที่มีความสามารถในการทำงานต่ำ เช่น คอนกรีตบดอัด (roller compacted concrete) ในการบดอัดในภาคสนามจะใช้รถสำหรับการสั่นและบดอัด (vibratory roller) เนื่องจากทำงานได้เร็วและบดอัดเป็นชั้นได้ ส่วนการบดอัดในห้องปฏิบัติการสามารถใช้เครื่องอัดและสั่นด้วย นอกจากนี้เครื่องมือการบดอัดแบบพรอคเตอร์ (proctor compaction) ที่ใช้ในการอัดดินก็สามารถใช้ได้เช่นกัน

2.1.8 กำลังรับแรงอัดของคอนกรีต [1]

ในการทดสอบกำลังรับแรงอัดเป็นเรื่องสำคัญมาก เพราะเป็นการควบคุมคุณภาพของคอนกรีตที่ใช้งานรูปทรงของคอนกรีตที่นิยมเพื่อใช้ในการทดสอบเพื่อหากำลังอัดของคอนกรีตที่นิยมกันมี 2 แบบคือรูปทรงลูกบาศก์และรูปทรงกระบอก ซึ่งให้กำลังอัด (ความเด่น) ต่างกัน กำลังอัดของรูปทรงกระบอกมีค่าร้อยละ 80 ของรูปทรงลูกบาศก์ และเมื่อค่ากำลังรับแรงอัดของคอนกรีตสูงขึ้นอัตราส่วนระหว่างค่ากำลังรับแรงอัดของคอนกรีตทรงกระบอกต่อทรงลูกบาศก์มีแนวโน้มที่สูงขึ้นด้วย

การเลือกใช้ตัวอย่างคอนกรีตในการทดสอบให้ใช้หลักตามมาตรฐานที่ใช้ในการออกแบบ เช่น การออกแบบตามมาตรฐานอังกฤษควรใช้รูปทรงลูกบาศก์ในการทดสอบกำลังอัด และหากใช้ตามมาตรฐานของวิศวกรรมสถานแห่งประเทศไทยฯ หรือมาตรฐานอเมริกันในการออกแบบก็ควรใช้คอนกรีตรูปทรงกระบอก นอกจากนี้ RIREM ซึ่งเป็นหน่วยงานที่กำหนดมาตรฐานการทดสอบแนะนำให้ใช้คอนกรีตรูปทรงกระบอกเนื่องจากเหตุผลดังต่อไปนี้

1. คอนกรีตรูปทรงกระบอกให้ค่าที่สมำเสมอกว่า เมื่อจากผลกระทบการยึดรังที่ปลาย (end restraints) ของตัวอย่างกับแท่งทดสอบมีค่าน้อยกว่า

2. ผลกระทบอันเนื่องจากชนิดของหินต่อกำลังอัดของคอนกรีตมีค่าน้อยกว่าแบบทรงลูกบาศก์
3. การกระจายของแรงอัดที่ผิวน้ำคอนกรีตมีค่าスマ更有กว่า
4. คอนกรีตทรงกระบอกทำการเทและการทดสอบในทิศทางเดียวกันคือแนวตั้งซึ่งเหมือนการใช้งานจริง ซึ่งคอนกรีตฐานลูกบาศก์มีการเทและการทดสอบในทิศทางที่ทำมุ่ง 90 องศา

2.1.9 กำลังรับแรงดึงโดยตรงของคอนกรีต (Direct Tensile Test) [2]

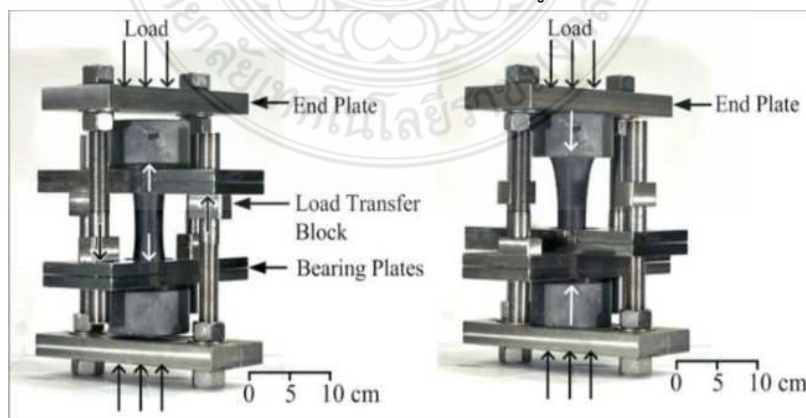
มีความต้านทานในด้านรับแรงดึงของคอนกรีตมาก คิดเป็นร้อยละ 10 ของกำลังอัดประลัย แม้ในการคำนวณออกแบบโครงสร้างคอนกรีตเสริมเหล็ก คอนกรีตจะไม่ได้รับแรงดึงโดยตรงก็ตาม แต่การทราบค่ากำลังนี้จะช่วยควบคุมการตรวจสอบของคอนกรีตจากผลกระทบต่างๆ ได้

2.1.9.1 วิธีการรับแรงดึงโดยตรงของคอนกรีต

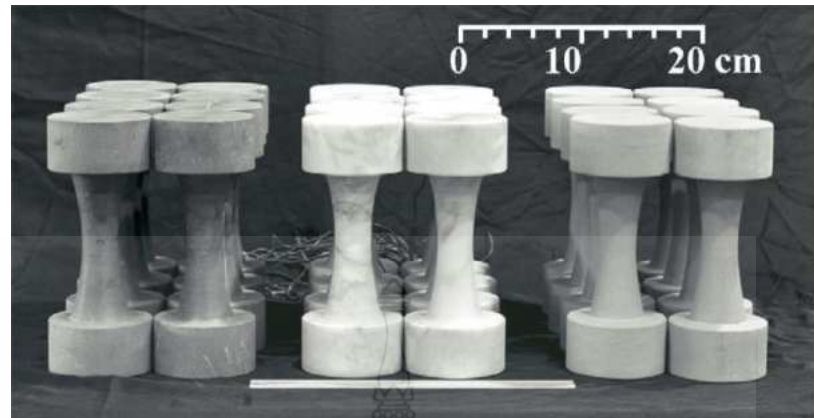
โดยปกติแล้วการให้แรงโดยตรงกับตัวอย่างคอนกรีต จะทำได้ยาก เพราะอาจเกิดความคลาดเคลื่อนของผลการทดสอบดังนี้

1. เกิดการเยื่องศูนย์ของตัวอย่าง ทำให้คอนกรีตแตกหักก่อนที่จะได้ค่ากำลังดึงที่แท้จริง ซึ่งเป็นปัญหาที่สำคัญ
2. มีหน่วยแรงยืนแທรากเข้ามาจากหัวจับยืด ทำให้มีเป็นหน่วยแรงเฉพาะที่ และจนกระทั่งจะเกิดการแตก ณ บริเวณนี้
3. เมื่อมีการร้าว จะเพรียบเทียบเพิ่มขึ้นอย่างรวดเร็วกำลังรับแรงดึงที่ได้จะเป็นของบริเวณที่กำลังต่ำสุด ซึ่งไม่ตรงต่อความเป็นจริง

เพื่อป้องกันไม่ให้เกิดความคลาดเคลื่อนของผลการทดสอบ จึงได้มีการปรับปรุงเครื่องมือที่จะใช้ในการทดสอบกำลังรับแรงดึงโดยตรง และรูปแบบของตัวอย่างที่ใช้ทดสอบ ซึ่งกิตติเทพ เพื่องจร และสิบปกร กลั่นภูมิศรี ได้ทำการพัฒนาและปรับปรุงเครื่องมือที่ใช้ในการทดสอบกำลังรับแรงดึงโดยตรง และรูปแบบของตัวอย่างที่จะใช้ทดสอบ เพื่อทดสอบคุณสมบัติกำลังรับแรงดึงของหินภายใต้แรงกด โดยการทดสอบกำลังรับแรงดึงแบบตรงของตัวอย่างหิน ดังแสดงในรูปที่ 2.4 และ 2.5

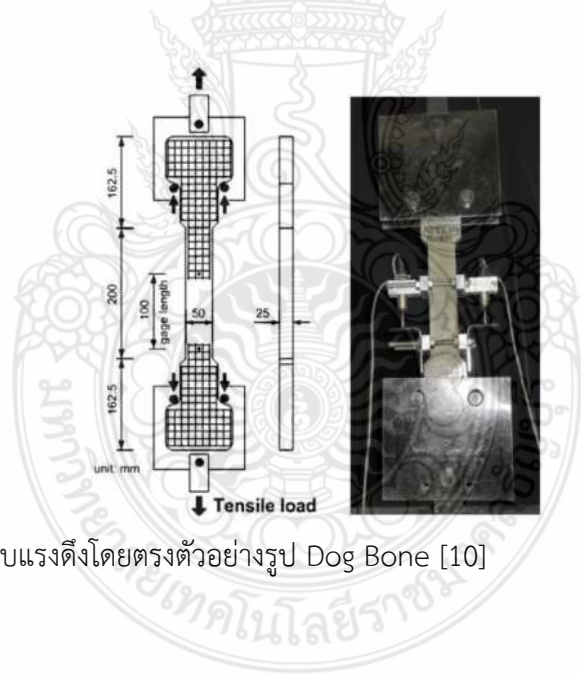


รูปที่ 2.4 เครื่องทดสอบแรงดึงโดยตรงตัวอย่างรูป Dog Bone [2]

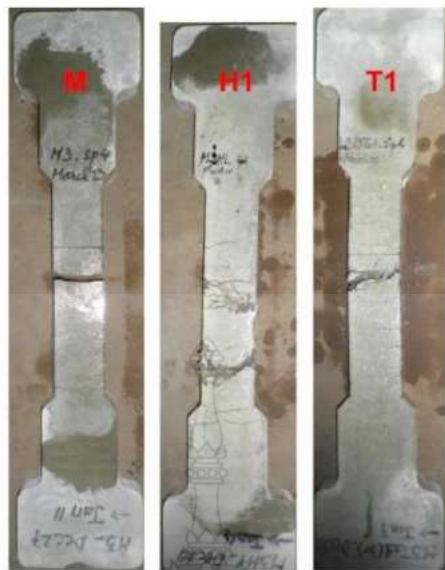


รูปที่ 2.5 ตัวอย่างรูป Dog Bone ที่ใช้ทดสอบแรงดึงโดยตรง [2]

Tuan Kiet Tran และ Dong Joo Kim [10] ได้ทำการพัฒนาและปรับปรุงเครื่องมือที่ใช้ในการทดสอบ เพื่อการตรวจสอบพฤติกรรม ของแรงดึงโดยตรงจากซีเมนต์เสริมเส้นใยที่มีประสิทธิภาพสูง ในอัตราความเครียดสูง ดังแสดงในรูป 2.6 และ 2.7



รูปที่ 2.6 เครื่องทดสอบแรงดึงโดยตรงตัวอย่างรูป Dog Bone [10]



รูปที่ 2.7 ตัวอย่างรูป Dog Bone ที่ใช้ทดสอบแรงดึงโดยตรง [10]

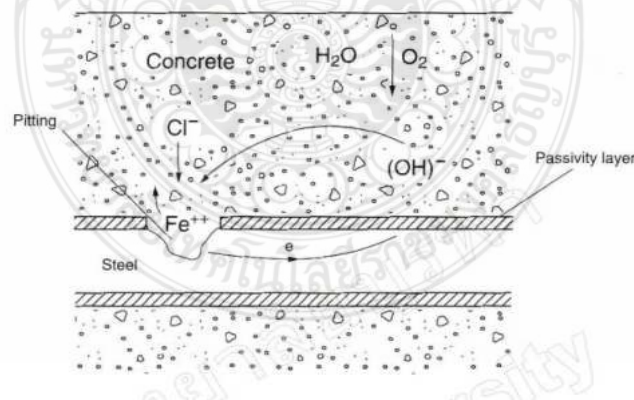
2.1.10 การกัดกร่อนเนื้องจากคลอไรด์ [1], [5]

โดยทั่วไปสารประกอบคลอไรด์ไม่ส่งผลที่เป็นอันตรายกับเนื้อของคุณกริตที่ไม่มีเหล็กเสริม ซึ่งงานศึกษาวิจัยที่ผ่านมาพบว่า การใช้น้ำที่มีคลอไรด์ผสมในคุณกริตซึ่งส่งผลให้คุณกริตมีกำลังอัดที่สูงขึ้น เพราะเป็นสารที่เร่งการก่อตัวและเร่งการแข็งตัวของคุณกริต แต่การใช้งานของคุณกริตในโครงสร้างทั่วไป จำเป็นอย่างยิ่งต้องใส่เหล็กเสริมเข้าไปในคุณกริตเพื่อให้รับแรงดึงจากคุณกริต มีความสามารถในการรับแรงดึงได้น้อย และการที่คุณกริตมีเหล็กเสริมนี้เองจึงส่งผลให้การทำลายเนื้องจากคลอไรด์ต่อโครงสร้างคุณกริตเสริมเหล็กมีความชัดเจนและรุนแรงมาก ทั้งนี้เนื่องจากเกิดการกัดกร่อน เนื้องจากคลอไรด์แตกต่างจากการกัดกร่อนจากสารเคมีอื่นที่คลอไรด์สามารถทำให้เหล็กเสริมเป็นสนิมและคุณกริตปริเวณรอบๆ เหล็กเสริมเท่านั้นที่เสียหายจากการขยายตัวของเหล็กเสริมดันคุณกริตให้เกิดการแตกร้าว ตลอดจนทำให้ความสามารถในการรับแรงยึดเหนี่ยวของเหล็กเสริมและคุณกริตต่ำลง และเป็นสาเหตุหลักที่ทำลายคุณกริตเสริมเหล็ก โดยลักษณะการทำลายของคลอไรด์ต่อคุณกริตเสริมเหล็กที่อยู่ในสภาพแวดล้อมจริง ดังรูปที่ 2.8



รูปที่ 2.8 ความเสียหายของคอนกรีตเสริมเหล็กเนื่องจากคลอไรด์โดยเหล็กเป็นสนิมด้านคอนกรีตให้แตกร้าว หรือหลุดร่อนออกมา [1]

การกัดกร่อนอันเนื่องจากคลอไรด์แตกต่างจากการกัดกร่อนทางเคมีอื่นตรงที่คลอไรด์ทำให้เหล็กเป็นสนิม และคอนกรีตบริเวณรอบ ๆ เหล็กเสริมเท่านั้นที่เสียหาย เนื่องจากเกิดการขยายตัวของเหล็กเสริมและเป็นสาเหตุหลักที่ทำลายองค์ประกอบคอนกรีตเสริมเหล็ก หลังการเกิดปฏิกิริยา ไฮเดรชัน จะเกิดผลิตภัณฑ์อย่างหนึ่งเกิดขึ้นนั่นคือ แคลเซียมไฮド록ไซด์ ($\text{Ca}(\text{OH})_2$) ซึ่งมีคุณสมบัติเป็นต่าง ทำให้ซีเมนต์เพสต์หรือคอนกรีตที่แข็งตัวแล้ว คือ มีค่า pH ประมาณ 12.5 ถึง 13.5 ความเป็นด่างของคอนกรีตจะช่วยป้องกันเหล็กเสริมภายในคอนกรีตไม่ให้เกิดสนิม โดยมีชั้นฟิล์มบางๆ ของ $\text{V}-\text{Fe}_2\text{O}_3$ เคลือบผิวเหล็กเสริมไว้ ซึ่งสามารถป้องกันน้ำและกําชออกซิเจนไม่ให้มาทำปฏิกิริยากับเหล็กเสริมจึงไม่ก่อให้เกิดสนิม แต่เมื่ออ่อนของคลอไรด์ทำลายฟิล์มนี้ได้ และเมื่อมีน้ำและออกซิเจนมาสัมผัสกับเหล็กเสริม บริเวณที่ไม่มีฟิล์มออกไซด์ป้องกันอยู่ เหล็กก็จะเป็นสนิม แสดงดังรูป 2.10



รูปที่ 2.9 การเกิดสนิมเหล็กเนื่องจากปฏิกิริยาไฟฟ้าเคมีเมื่อมีคลอไรด์ในคอนกรีต [1]

ความเป็นด่างของคอนกรีตอาจจะลดลงได้จากหลายสาเหตุ การแทรกซึมของคลอไรด์ก็เป็นอีกสาเหตุหนึ่ง และหากค่าความเป็นด่างของคอนกรีตลดลงจนค่า pH ต่ำกว่า 9 หรือ 10 การเกิดสนิมเหล็กจะเกิดขึ้น เมื่อคลอไรด์จากน้ำทะเลสามารถแทรกซึมเข้าสู่คอนกรีตถึงขั้นของเหล็กเสริมและทำลาย

ชั้นพิล์มดังกล่าว ประกอบกับมีน้ำหรือความชื้นและกําชออกซิเจนภายในคอนกรีต ทำให้เกิดกระบวนการสนิมจากปฏิกิริยาไฟฟ้าเคมีเกิดขึ้นในรูปแบบของเซลล์กําลวนิก (Galvanic Cell) เนื่องจากเกิดศักย์ไฟฟ้าที่บริเวณผิวของเหล็กเสริม ซึ่งมีสาเหตุจากความแตกต่างของสภาพแวดล้อมของคอนกรีต ความแตกต่างของความชื้น ความแตกต่างของความเข้มข้นสารละลายเกลือภายนอกในช่องว่างคอนกรีต ฯลฯ ทำให้เกิดสภาพขั่วบกและขั่วลบ เกิดการไหลของกระแสไฟฟ้าโดยมีสารละลายของเกลือคลอไรด์ในช่องว่างคอนกรีตเป็นสื่ออิเลคโทรไลต์ให้อิเลคตรอนวิ่งผ่าน

กระบวนการไฟฟ้าเคมี ของกระบวนการให้เกิดสนิมจะเริ่มจากขั่วบก เหล็กจะแตกตัวเป็นเฟอร์รัสโซอ่อน (Fe^{2+}) เข้าสู่สภาพสารละลาย ดังสมการ (2.6) ส่วนอิเลคตรอน (e^-) จะวิ่งผ่านไปตามเหล็กเสริมเข้าสู่ขั่วลบ โดยมีน้ำที่มีคลอไรด์ทำหน้าที่เป็นสื่ออิเลคโทรไลต์ ปฏิกิริยาที่เกิดขึ้น เรียกว่าปฏิกิริยาแอนอดิก จากนั้นอิเลคตรอน (e^-) จากปฏิกิริยาแอนอดจะไปรวมตัวกับน้ำและกําชออกซิเจนเกิดเป็นไฮดรอกซิลอีออน ($(\text{OH})^-$) ซึ่งเรียกว่าปฏิกิริยาแคโตดิก ดังสมการ (2.9) และเมื่อ Fe^{2+} และ $(\text{OH})^-$ จะเกิดเป็นเฟอร์รัสไฮดรอกไซด์ (Fe(OH)_2) ดังสมการ (2.7) และเมื่อทำปฏิกิริยากับออกซิเจนเป็นเฟอร์ริกไฮดรอกไซด์ (Fe(OH)_3) หรือสนิมเหล็กในที่สุด ดังสมการ (2.8) [1]

Anodic Reaction



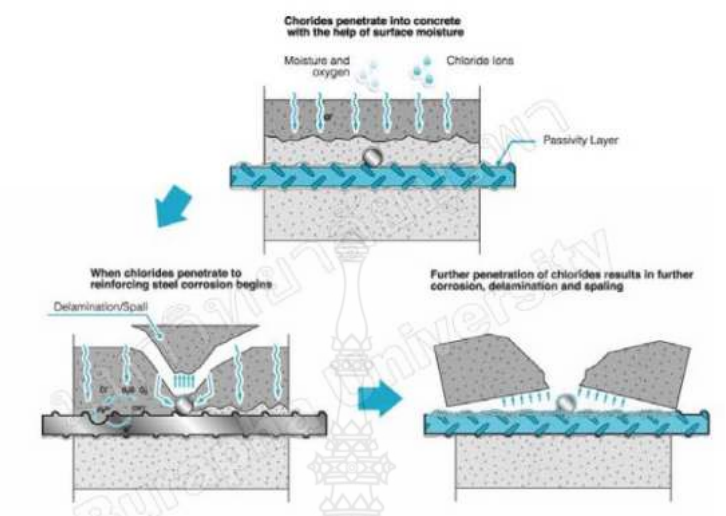
Cathodic Reaction



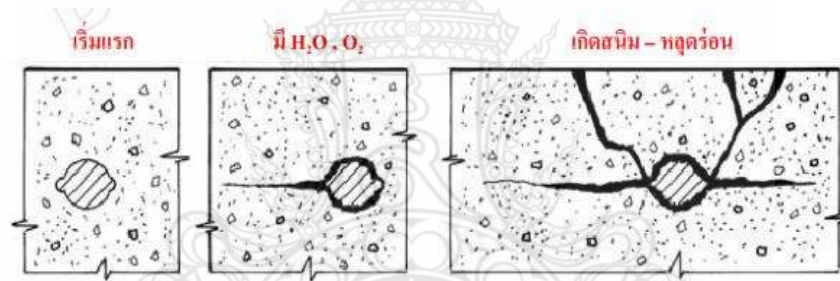
Fe^{2+} ที่เกิดขึ้นอีกส่วนหนึ่งจะทำปฏิกิริยา Cl^- เกิดเป็นเฟอร์ริกคลอไรด์ (FeCl_3) ซึ่งเมื่อทำปฏิกิริยากับน้ำจะกลายเป็นสนิมเหล็กเช่นกัน ดังสมการ (2.10) และ (2.11)



การกัดกร่อนที่เกิดขึ้นส่งผลทำให้มีการขยายตัวเนื่องจากเหล็กเสริมมีปริมาตรมากกว่าเนื้อเหล็กเดิมหลายเท่า ซึ่งอาจมากถึง 4-6 เท่า และผลักดันคอนกรีตให้แตกร้าวเสียหาย ดังแสดงในรูปที่ 2.11



รูปที่ 2.10 การแตกร้าว หลุดร่อนของคอนกรีตเนื่องจากการเกิดสนิมเหล็ก [1]



รูปที่ 2.11 การแตกร้าว หลุดร่อนของคอนกรีตเนื่องจากการเกิดสนิมเหล็ก [1]

2.1.11 การกัดกร่อนเนื่องจากซัลเฟต [1],[3],[4]

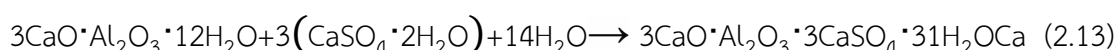
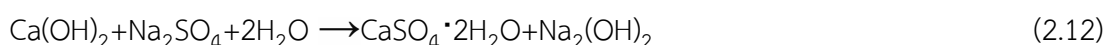
เกลือซัลเฟตมีอยู่ตามธรรมชาติทั้งในและในน้ำใต้ดิน เช่น โซเดียมซัลเฟต (Na_2SO_4) โพแทสเซียมซัลเฟต (K_2SO_4) แมกนีเซียมซัลเฟต ($MgSO_4$) เป็นต้น ความรุนแรงจากการทำลายของซัลเฟตที่มีต่อคอนกรีตขึ้นอยู่กับความเข้มข้นของซัลเฟตและความชื้น สารซัลเฟตที่อยู่ในสภาพของแข็งไม่เป็นอันตรายที่มีต่อคอนกรีต และการทำลายของซัลเฟตไม่เกิดขึ้นเมื่อคอนกรีตอยู่ในสภาพแห้ง แต่มีความรุนแรงมากขึ้นเมื่อคอนกรีตเปียกมีความชื้นและรุนแรงอย่างมากในกรณีที่คอนกรีตอยู่ในสภาพเปียกสลับแห้ง โดยสารละลายน้ำซัลเฟตจะซึมเข้าไปภายในโครงสร้างของเนื้อคอนกรีตและทำปฏิกิริยา กับซีเมนต์เพสต์ ทำให้เกิดสารประกอบชนิดใหม่ขึ้นซึ่งมีการขยายตัวและแตกร้าวจนทำให้ไม่สามารถรับกำลังได้

เกลือซัลเฟตที่พบในธรรมชาติและเป็นอันตรายต่อโครงสร้างคอนกรีตได้แก่ โซเดียมซัลเฟต แมgnีเซียมซัลเฟต และแคลเซียมซัลเฟต โดยที่ว่าไปคอนกรีตมีส่วนผสมของมวลรวมกับปูนซีเมนต์แต่ มวลรวมมีการทำปฏิกิริยากับซัลเฟตน้อยมาก ดังนั้นจึงนำมาเสนอเฉพาะกระบวนการกัดกร่อนที่เกิดจาก ปฏิกิริยาระหว่างปูนซีเมนต์กับซัลเฟตเท่านั้น โดยนำเสนอเฉพาะกระบวนการกัดกร่อนที่เกิดจาก ปฏิกิริยาระหว่างปูนซีเมนต์กับซัลเฟตเท่านั้น โดยนำเสนอเฉพาะสารประกอบซัลเฟตที่ส่งผลต่อการ ทำลายคอนกรีต และจะพบมากในสภาพแวดล้อมทั่วไป เช่น ในสภาพแวดล้อมทะเล ในบริเวณดินเค็ม เป็นต้น ในที่นี้กล่าวถึงกระบวนการกัดกร่อนเนื่องจากโซเดียมซัลเฟตและแมgnีเซียมซัลเฟต ซึ่งพบมาก ในสภาพแวดล้อมทั่วไปมีผลต่อการทำลายโครงสร้างคอนกรีตตอนข้างรุนแรง ซึ่งโดยภาพรวมแล้วทำการ ทำลายเนื่องจากซัลเฟตต่อกонกรีตจะเป็นในลักษณะที่ทำให้คอนกรีตขยายตัว แตกร้าวจะสูญเสียกำลัง รับแรง ดังแสดงในรูปที่ 2.12

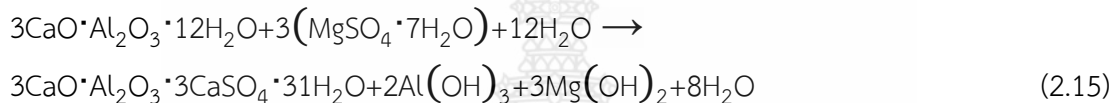
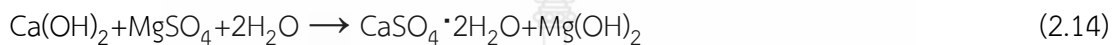


รูปที่ 2.12 ลักษณะการทำลายของสารประกอบซัลเฟตต่อกอนกรีต [1]

กระบวนการเกิดกัดกร่อนของสารประกอบของโซเดียมต่อซัลเฟตต่อกอนกรีตเริ่มต้นจาก ปฏิกิริยาระหว่างโซเดียมซัลเฟตกับแคลเซียมไฮดรอกไซด์ที่เป็นปฏิกิริยาไฮเดรชั่น ทำให้โซเดียมไฮดรอกไซด์ ($\text{Na}_2(\text{OH})_2$) และแคลเซียมซัลเฟต ($\text{CaSO}_4 \cdot 2\text{H}_2\text{O}$) หรืออิปซัม ตามสมการ (2.12) โดยอิปซัม สามารถทำปฏิกิริยาต่อเนื่อง $\text{C}-\text{A}-\text{H}$ ซึ่งได้จากปฏิกิริยาไฮเดรชั่น โดยปฏิกิริยาเกิดขึ้นดังสมการ (2.13) และบางส่วนอาจทำปฏิกิริยากับแคลเซียมอลูมิเนตไฮเดรตที่ซัลเฟตอ่อน化ไป หรืออาจทำปฏิกิริยา กับ C_3A ที่เหลือจากปฏิกิริยาไฮเดรชั่น ซึ่งทั้งหมดนี้ทำให้ได้แคลเซียมซัลโฟอลูมิเนต ($3\text{CaO} \cdot \text{Al}_2\text{O}_3 \cdot 3\text{CaSO}_4 \cdot 31\text{H}_2\text{O}$) หรือ Ettringite [1]



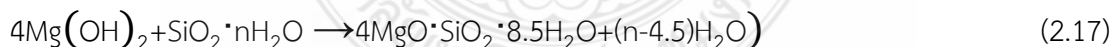
กระบวนการกัดกร่อนของแมgnีเซียมซัลเฟตต่อกอนกรีตปฏิกิริยาระหว่างแมgnีเซียมซัลเฟต กับแคลเซียมไฮดรอกไซด์ทำให้ได้แมgnีเซียมไฮดรอกไซด์ ($Mg(SO_4)_2$) และแคลเซียมซัลเฟตหรือยิปซัม ตามสมการ (2.14) จากนั้นยิปซัมจะทำปฏิกิริยาต่อเนื่องกับ C-A-H ได้ผลเป็นแคลเซียมซัลโฟลูมิเนต หรือ Ettringite นอกจากนั้นแมgnีเซียมซัลเฟต ($Mg(SO_4)_2$) ยังทำปฏิกิริยา C-A-H ได้เป็นแคลเซียมซัลโฟลูมิเนตอลูมิเนียมไฮดรอกไซด์ ($Al(OH)_3$) และแมgnีเซียมไฮดรอกไซด์ ($Mg(OH)_2$) ตามสมการที่ (2.15) อีกด้วย [1]



นอกจากนี้แคลเซียมซิลิกेटไฮเดรตที่ได้จากปฏิกิริยาไฮเดรชันทำยังปฏิกิริยากับแมgnีเซียมซัลเฟตได้เป็นยิปซัม แมgnีเซียมไฮดรอกไซด์ และซิลิกาเจล ($SiO_2 \cdot nH_2O$) ตามสมการที่ (2.16)



ยิปซัมที่เกิดขึ้นนี้ยังสามารถทำปฏิกิริยากับ C-A-H ตามสมการที่ (2.15) อีกด้วยซึ่งผลที่ได้เป็น Ettringite เมมีอนเดิม ส่วนซิลิกาเจล $SiO_2 \cdot nH_2O$ ตามสมการที่ (2.16) ยังทำปฏิกิริยากับแมgnีเซียมไฮดรอกไซด์เป็น แมgnีเซียมซิลิกेटไฮเดรต ($4MgO \cdot SiO_2 \cdot 8.5H_2O$) ดังสมการที่ (2.17)



ยิปซัมและแคลเซียมซัลโฟลูมิเนตที่เกิดขึ้น มีความถ่วงจำเพาะต่ำกว่าสารประกอบเดิม มีการขยายตัวซึ่งทำให้มีปริมาณมากขึ้น และเกิดแรงดันในกอนกรีตเป็นผลให้กอนกรีตแตกร้าวในที่สุด ส่วนซิลิกาเจลและแมgnีเซียมซิลิกาไฮเดรต เป็นสารที่ไม่แข็งแรงเท่ากับแคลเซียมซิลิกेटไฮเดรตที่สูญเสียไปทำให้กำลังของกอนกรีตอาจลดลง จากสมการทางเคมีข้างต้นพบว่าในการลดปริมาณของ C_3A ให้น้อยลงทำให้ปริมาณของแคลเซียมอลูมิเนตไฮเดรตลดลง ส่งผลให้ปริมาณในการเกิดยิปซัม แคลเซียม

ชัลโพลูมิเนต และแมกนีเซียมซิลิกेटไฮเดรตลดลงตามไปด้วย ทำให้การกัดกร่อนของชัลเฟตลดลง ดังนั้นการใช้ปูนซีเมนต์ที่มี C_3A ต่ำ จึงสามารถลดการกัดกร่อนจากชัลเฟตได้ดี

โดยสรุปแล้วกระบวนการกัดกร่อนทางเคมีเนื่องจากสารประกอบชัลเฟตที่มีต่อคอนกรีตทำให้ได้สารประกอบที่เป็นอันตรายต่อคอนกรีตดังนี้ แคลเซียมชัลเฟต หรือ อิปซัม เป็นผลจากปฏิกิริยาระหว่าง แคลเซียมไฮดรอกไซด์กับแมกนีเซียมชัลเฟต โดยยิปซัมมีการขยายตัวมากกว่าแคลเซียมไฮดรอกไซด์ ซึ่งเป็นสารดังเดิมถึง 2.2 เท่า เป็นผลทำให้คอนกรีตเกิดการขยายตัวและแตกร้าว นอกจานั้นยังทำให้คอนกรีตไม่สามารถยึดเกาะระหว่างซีเมนต์เพสต์กับมวลรวม อันเนื่องจากเกลือที่เกิดขึ้นสามารถฉะล้างหลุดออกไปได้่ายส่งผลให้เนื้อคอนกรีตหายไปด้วยและมวลรวมหลุดจากคอนกรีตได้ง่าย โดยในกระบวนการผลิตคอนกรีตสามารถลดปริมาณของยิปซัมลงได้โดยการเติมสารที่มีคุณสมบัติเป็นวัสดุป้องโชลนเพื่อลด C_3S และ C_2S ซึ่งเป็นสารที่ก่อให้เกิดแคลเซียมไฮดรอกไซด์

แมกนีเซียมซิลิกेटไฮเดรต เป็นสารประกอบที่เป็นผลจากปฏิกิริยาระหว่างซิลิกาเจลกับแมกนีเซียมไฮดรอกไซด์ โดยสารนี้มีลักษณะเป็นสีขาวมีความแข็งแรงต่ำและส่งผลให้กำลังอัดคอนกรีตลดลงอีกด้วย

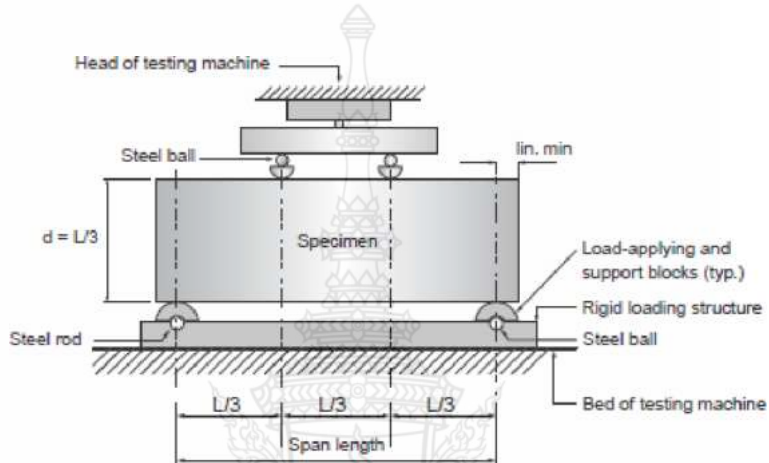
2.1.15 แรงดัดในคาน [1]

รายละเอียดการทดสอบแรงดึงของคอนกรีตโดยวิธีการดัด (bending method) หรือเรียกว่า การทดสอบโมดูลัสแตกร้าว (modulus of rupture) โดยเทคโนโลยี 2 ชั้นแต่ละชั้นกระหุงจำนวน 60 ครั้งแต่ละครั้งครอบคลุมพื้นที่ 12.5 ซม.² คอนกรีตที่มีความข้นหรือหนาเท่าใดก็ได้จะต้องใช้เครื่องขยายหัวลังจากหล่อคอนกรีตประมาณ 24 ชั่วโมงถึงถอนแบบและนำไปบ่มเพื่อทดสอบการรับแรงดึงด้วยวิธีดัดนิยม ใช้การกดแบบ 3 จุด (third point loading) การให้น้ำหนักกดลงตัวอย่างค่อนกรีตจะให้ในอัตรา 860 ถึง 1,200 กิโลปascals ต่อนาที จนตัวอย่างแตกหักออกจากกันโดยทั่วไปคานอาจจะหักเป็น 2 ท่อนตรงบริเวณช่วงระหว่าง $L/3$ ถึง $2L/3$ ซึ่งบริเวณดังกล่าวมีค่าโมเมนต์ติดสูงสุดและไม่มีแรงเฉือนและถือว่า การแตกหักโดยโมเมนต์ล้วนๆ การคำนวณกำลังดัด (แรงดึง) ประดิษฐ์ทำให้คานแตกหักออกจากกันสามารถคำนวณจากสมการที่ 2.18 และกรณีที่ร้อยแตกหักของตัวอย่างไม่อยู่ในช่วงระหว่าง $L/3$ ถึง $2L/3$ ของคานแต่ต้องไม่เกินร้อยละ 5 ของช่วงความยาวช่วงคานโดยใช้สมการที่ 2.19 เพื่อใช้คำนวณ

$$\sigma = \frac{PL}{bd^2} \quad (2.18)$$

$$\sigma = \frac{3PL}{bd^2} \quad (2.19)$$

- เมื่อ σ เป็นกำลังดัด (แรงดึง) ประลัยของคอนกรีต (กก./ซม.²)
 P เป็นน้ำหนักประลัยที่ทำให้คอนกรีตแตกหัก (กก.)
 L เป็นช่วงความยาวของคานระหว่างจุดรองรับกับจุดให้น้ำหนัก (ซม.)
 b เป็นความกว้างของคาน (ซม.)
 d เป็นความลึกของคาน (ซม.)
 r เป็นระยะเฉลี่ยจากจุดรองรับถึงจุดแตกหักของคาน (ซม.)



รูปที่ 2.13 การทดสอบการรับแรงดึงของคานโดยวิธีตัด

2.2 งานวิจัยที่เกี่ยวข้อง

2.2.1 เรื่องรุ่นดี ชีรัชโรจน์ และ คณะ [8] ได้กล่าวว่าอนุภาคขนาดเล็กของวัสดุมีผลทำให้มอร์ตาร์หรือคอนกรีตมีความหนาแน่นเพิ่มมากขึ้นเป็นผลให้กำลังอัดสูงขึ้นโดยไม่ต้องอาศัยปฏิกิริยาทางเคมี ซึ่งเกิดจากการจัดเรียงที่เหมาะสมของอนุภาคที่มีขนาดเล็กและแทรกอยู่ในช่องระหว่างปูนซีเมนต์ และทรายหรือหิน กำลังอัดส่วนที่เพิ่มขึ้นนี้เป็นกำลังอัดที่เกิดขึ้นนอกเหนือจากการกำลังอัดที่เป็นผลจากปฏิกิริยาไฮเดรชันที่ได้จากปูนซีเมนต์ทำปฏิกิริยากับน้ำ และผลการทดสอบพบว่าปูนซีเมนต์ปอร์ตแลนด์ประเภทที่ 1 มีปริมาณน้ำหนักของวัสดุที่ค้างบนตะแกรงมาตรฐานเบอร์ 325 อยู่ร้อยละ 13 และมีขนาดอนุภาคเฉลี่ยเท่ากับ 11 ไมโครเมตร

2.2.2 ชัชวาล [1] กล่าวว่าความต้านทานให้ต้านรับแรงดึงของคอนกรีตต่ำมาก คือประมาณร้อยละ 10 ของกำลังประลัย ถึงแม้ในการคำนวณออกแบบในการคำนวณออกแบบโครงสร้างคอนกรีตเสริมเหล็ก คอนกรีตจะไม่ได้รับแรงดึงโดยตรงก็ตาม แต่การทราบค่ากำลังนี้จะช่วยในการควบคุมการแตกร้าวของคอนกรีตจากผลกระทบต่างๆ เช่น อุณหภูมิ การทดสอบวิวัฒนาการดึงในคอนกรีตทำได้ 3

วิธีคือ 1. วิธีกำลังรับแรงดึงโดยตรง (Direct Tensile Test) 2. วิธีกำลังรับแรงดึง แบบผ่าซีก (Splitting Test) 3. วิธีโมดูลัสการแตกร้าวของคอนกรีต (Flexural Strength Test) [1]

2.2.3 Lea [9] กล่าวว่าปูนภูมิริยาไฮเดรชันของปูนซีเมนต์เกิดจากไตรแคลเซียมซิลิกेट ($3\text{CaO}\cdot\text{SiO}_2$) ไดแคลเซียมซิลิกेट ($2\text{CaO}\cdot\text{SiO}_2$) ไตรแคลเซียมอลูมิเนต ($3\text{CaO}\cdot\text{Al}_2\text{O}_3$) เทจรากัลเซียมอลูมิโนเฟอร์ไรท์ ($4\text{CaO}\cdot\text{Al}_2\text{O}\cdot\text{Fe}_2\text{O}_3$) รวมกับน้ำจะทำให้ปูนซีเมนต์มีลักษณะเป็นของเหลวข้นและเกิดสารประกอบขึ้นมา 2 ชนิดคือ แคลเซียมซิลิกेटไฮเดรต ($\text{Z}3\text{CaO}\cdot2\text{SiO}_2\cdot3\text{H}_2\text{O}$) หรือเรียกว่า C-S-H และแคลเซียมไฮดรอกไซด์ (Ca(OH)_2) [4]

2.2.4 กิรติกิร และ วิเชียร [5] กล่าวว่ากำลังอัดคอนกรีตที่เพิ่มมากขึ้นส่งผลต่อการลดความลึกของการแทรกซึมคลอไรด์ในคอนกรีตแบบธรรมดามากกว่าคอนกรีตที่ผสมเจ้าถ่านหิน โดยการแทนที่เจ้าถ่านหินในบริมาณที่สูงขึ้น การเพิ่มกำลังอัดก็ยังทำให้มีอิทธิพลต่อการลดความลึกของการแทรกซึมคลอไรด์ได้น้อยลง (ความลึกของการแทรกซึมคลอไรด์ในคอนกรีตที่เชื่อ) [5]

2.2.5 Cho Ching Joe Kwan [7] กล่าวว่ารายละเอียดของความสัมพันธ์ระหว่างกริดกับมวลรวม เพื่อทำความเข้าใจเกี่ยวกับความสัมพันธ์ระหว่างกันและระบุองค์ประกอบที่สำคัญ ซึ่งแสดงกลไกการเขื่อมต่อกัน การเสริมแรงของวัสดุจะต้องอาศัยการเขื่อมต่อกันระหว่างกริดและมวลรวมที่มีประสิทธิภาพ เมื่อมีการเสริมกำลังเกิดขึ้นจะมีการลดความเครียดที่ไม่สามารถกู้คืนได้เหนือเขตอิทธิพลของกริด ช่วยลดการทรุดตัวตามแนวตั้งของบล็อกส์ เพื่อเพิ่มประสิทธิภาพผลกระทบความแข็งของตารางขนาดของช่องรับความแข็งแรงของกริดและตำแหน่งของเส้นตารางภายในในชั้นบล็อกส์ [8]

2.2.6 ชัยณัฐ และ จตุพล [11] การศึกษาถึงผลกระทบของการใช้ตะกอนประปา ทรายบด และเจ้าถ่านหินแทนที่ปูนซีเมนต์ ต่อการอัดตัวของอนุภาค และปูนภูมิริยาปอชโซลานค่าแรงดึงโดยตรงของคอนกรีต ผลการทดลองพบว่าขนาดของอนุภาคขนาดที่เล็กที่สุดจะให้ค่าแรงดึงโดยตรงของคอนกรีต สูงกว่าขนาดที่ใหญ่กว่า สำหรับการใช้เจ้าถ่านหินที่มีขนาดเล็กกว่าจะให้ผลของปูนภูมิริยาปอชโซลานต่อค่าแรงดึงโดยตรงของคอนกรีตสูงกว่าการใช้เจ้าถ่านหินขนาดใหญ่กว่า และการแทนที่มากขึ้นมีผลต่อค่าแรงดึงโดยตรงของคอนกรีตเนื่องจากปูนภูมิริยาปอชโซลาน

2.2.7 ยิ่งพงษ์ และ จตุพล [12] งานวิจัยนี้ได้ทำการศึกษาถึงผลของการใช้ตะกอนน้ำประปา มาใช้ในงานคอนกรีต ต่อกำลังอัดประลัย แรงดึงโดยตรง ที่อายุ 7, 28 และ 60 วัน ผลการทดสอบพบว่า ค่ากำลังอัดของคอนกรีตและค่าแรงดึงโดยตรงที่ใช้ตะกอนน้ำประปามีค่าต่ำกว่าคอนกรีตปกติ ทั้งกำลังอัดและค่าแรงดึงโดยตรงของการแทนที่ตะกอนน้ำประปาที่ร้อยละ 20 มีค่าน้อยกว่าการแทนที่ที่ร้อยละ 10 เนื่องจากการแทนที่ตะกอนน้ำประปามากขึ้น

2.2.8 ตะวัน เพชรอาวุธ และ จตุพล ตั้งปักดิศ [13] ได้ทำการศึกษาถึงผลของการใช้ตะกอนน้ำประปางานผลิตน้ำประปางานมาใช้แทนที่ในปูนซีเมนต์ปอร์ทแลนต์ร้อยละ 5 โดยน้ำหนักใน

งานมอร์ต้าร์เกร้าท์รอยต่อผิวทางคอนกรีตสำเร็จรูป ผลการทดสอบแรงดึงโดยตรงพบว่าค่าแรงดึงโดยตรงของตัวอย่างคอนกรีตที่ผิงเหล็กแล้วใช้มอร์ต้าร์เกร้าท์มีค่าสูงกว่าแรงดึงในคอนกรีตล้วน

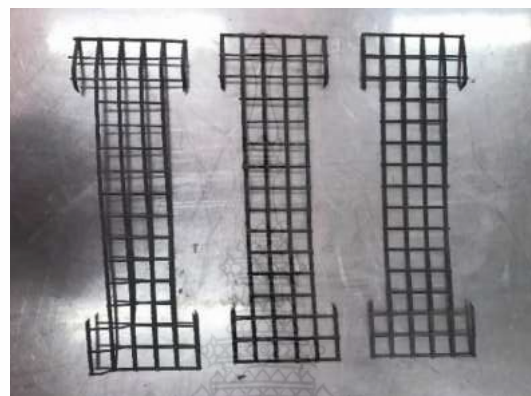
2.2.9 Tuan Kiet Tran และ Dong Joo Kim [14] ได้พัฒนาและปรับปรุงเครื่องมือที่ใช้ในการทดสอบกำลังรับแรงดึงโดยตรง และรูปแบบของตัวอย่างที่ใช้ทดสอบเพื่อการตรวจสอบพฤติกรรมของแรงดึงโดยตรงจากชีเมนต์เสริมเส้นใยที่มีประสิทธิภาพสูง



บทที่ 3 วิธีการศึกษา

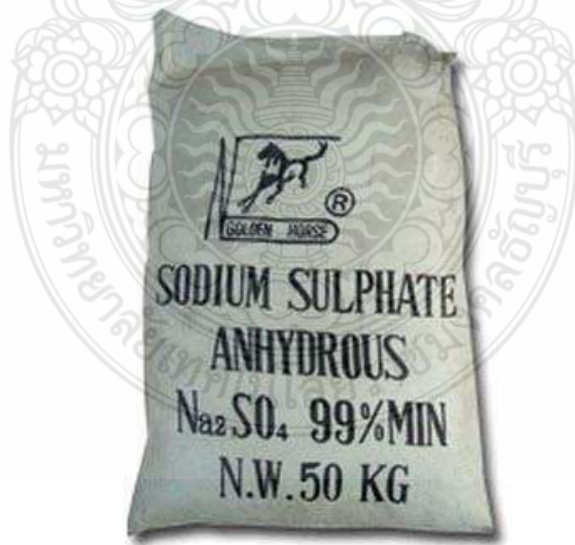
3.1 วัสดุที่ใช้ในการศึกษา

3.1.1 Geogrid Biaxial ใช้เป็นวัสดุเสริมแรง



รูปที่ 3.1 Geogrid Biaxial

3.1.2 สารละลายโซเดียมซัลเฟต ผสมในน้ำที่ใช้บ่มตัวอย่างคอนกรีตโดยใช้ความเข้มข้นร้อยละ 5 โดยน้ำหนัก



รูปที่ 3.2 สารละลายโซเดียมซัลเฟต

3.1.3 สารละลายโซเดียมคลอไรด์ ผสมในน้ำที่ใช้ปั่นตัวอย่างคอนกรีตโดยใช้ความเร็วขั้นร้อยละ 5 โดยน้ำหนัก



รูปที่ 3.3 สารละลายโซเดียมคลอไรด์

3.1.4 ปูนซีเมนต์ปอร์ต์แลนด์ประเภทที่ 1



รูปที่ 3.4 ปูนซีเมนต์ปอร์ต์แลนด์ประเภทที่ 1

3.2 อุปกรณ์ที่ใช้ในการศึกษา

3.2.1 เครื่องทดสอบกำลังรับแรงดึงโดยตรง หรือ เครื่องทดสอบอเนกประสงค์ (Universal Testing Machine : UTM)



รูปที่ 3.5 เครื่องทดสอบกำลังดึงโดยตรงหรือเครื่องทดสอบอเนกประสงค์

3.2.2 แบบหล่อตัวอย่างของคอนกรีตทรงกระบอก, รูปตัวไอ และแบบคาน



รูปที่ 3.6 แบบหล่อตัวอย่างของคอนกรีตทรงกระบอก



รูปที่ 3.7 แบบหล่อตัวอย่างของคอนกรีตรูป Dog Bone



รูปที่ 3.8 แบบหล่อคอนกรีตคาน

3.2.4 เครื่องผสมคอนกรีต



รูปที่ 3.9 เครื่องผสมคอนกรีต

3.2.5 ชุดตະแกรงร่อນทรາຍ



รูปที่ 3.10 ชุดตະแกรงร่อันทรາຍ

3.2.6 ชุดตະแกรงร่อันທິນ



รูปที่ 3.11 ชุดตະแกรงร่อันທິນ

3.2.7 เครื่องชั่งน้ำหนักระบบดิจิตอล



รูปที่ 3.12 เครื่องชั่งน้ำหนักระบบดิจิตอล

3.3 ขั้นตอนวิธีการดำเนินการศึกษา

- 3.3.1 เตรียมวัสดุในการศึกษา เตรียมวัสดุจีโอกริด เหล็กตะแกรงไวร์เมช น้ำ สารละลายโซเดียมซัลเฟต และสารละลายโซเดียมคลอไรด์ เตรียมตัวอย่างคอนกรีตสำหรับการทดสอบ
- 3.3.2 การเตรียมวัสดุผสมคอนกรีตและการผสมคอนกรีต



รูปที่ 3.13 เตรียมปูนซีเมนต์ในการผสมคอนกรีตตัวอย่าง



รูปที่ 3.14 เตรียมทรายในการผสมคอนกรีตตัวอย่าง



รูปที่ 3.15 เตรียมหินในการผสมคอนกรีตตัวอย่าง



รูปที่ 3.16 ผสมส่วนผสมคอนกรีตตัวอย่าง

3.3.2 การเตรียมตัวอย่างคอนกรีต

นำวัสดุต่างๆ ที่ใช้ผสมคอนกรีตมาผสมตามอัตราส่วนที่ทำการออกแบบไว้แล้วเทลงแบบหล่อ ตัวอย่างคอนกรีต ซึ่งจะแบ่งเป็น 3 ส่วน คือ แบบหล่อคอนกรีตรูปทรงกระบอก รูปตัวไอ และแบบคาน ดังนี้

- ตัวอย่างคอนกรีตรูปทรงกระบอก

นำคอนกรีตที่ผสมเสร็จแล้ว ที่ใช้กำลังอัดเท่ากับ 200 ksc. หลังจากนั้นทำการเทคโนโลยีใส่แบบหล่อ โดยการเทคโนโลยีแบ่งเป็น 3 ชั้น ทุกชั้นจะทำการทุบคอนกรีตชั้นละ 25 ครั้ง ปาดหน้าคอนกรีตให้เรียบสม่ำเสมอเมื่อคอนกรีตถูกตัวครบ 24 ชม. จึงถอดแบบหล่อแล้วนำคอนกรีตบ่มในน้ำ บ่มในสารละลายโพไซเดียมซัลเฟต และบ่มในสารละลายโพไซเดียมคลอไรด์ ที่อายุ 28 และ 180 วัน เพื่อนำไปทำการทดสอบกำลังรับแรงอัด



รูปที่ 3.17 เทคโนโลยีใส่แบบหล่อคอนกรีตทรงกระบอก และทำการกระทุบคอนกรีต



รูปที่ 3.18 ทำการปาดผิวน้ำคอนกรีตทรงกระบอก

- ตัวอย่างคอนกรีตรูป Dog Bone

นำแบบหล่อคอนกรีตตัวอย่างรูป Dog Bone หลังจากนั้นทำการเทคอนกรีตใส่แบบหล่อ จะแบ่งเป็น 3 ชั้น ทุกชั้นจะทำการทุบคอนกรีตชั้นละ 25 ครั้ง โดยการหล่อตัวอย่างชนิดนี้จะมีทั้งการเสริมจีโอกริด และมีแบบไม่เสริมแรง ซึ่งตัวอย่างคอนกรีตรูป Dog Bone เป็นการทดสอบหลักสำหรับกำลังรับแรงดึงโดยตรงของคอนกรีตเสริมจีโอกริด เทียบกับตัวอย่างต่างๆ ทำการทดสอบแบบเมื่อคอนกรีต ก่อตัวครบ 24 ชั่วโมง แล้วนำไปปั่นในน้ำ บ่มในสารละลายโซเดียมซัลเฟต และบ่มสารละลายโซเดียม คลอไรด์ที่มีความเข้มข้นใช้ร้อยละ 5 โดยน้ำหนัก เมื่อครบอายุ 28 วัน และ 180 วัน แล้วจึงนำไปทำการทดสอบกำลังรับแรงดึงโดยตรง



รูปที่ 3.19 ขนาดของตัวอย่างคอนกรีตรูป Dog Bone และการเสริมจีโอกริด



รูปที่ 3.20 ตัวอย่างคอนกรีตรูป Dog Bone เสริมจีโอกริดแบบทาบรอยต่อ 1 ช่อง



รูปที่ 3.21 ตัวอย่างคอนกรีตรูป Dog Bone เสริมจีโอกริดแบบทาบรอยต่อ 2 ช่อง



รูปที่ 3.22 ตัวอย่างคอนกรีตรูป Dog Bone เสริมจีโอกริดแบบทาบรอยต่อ 3 ช่อง



รูปที่ 3.23 ทำการปouredผิวน้ำคอนกรีตรูป Dog Bone ทั้งแบบเสริมจีดกริด และแบบไม่เสริมจีดกริด



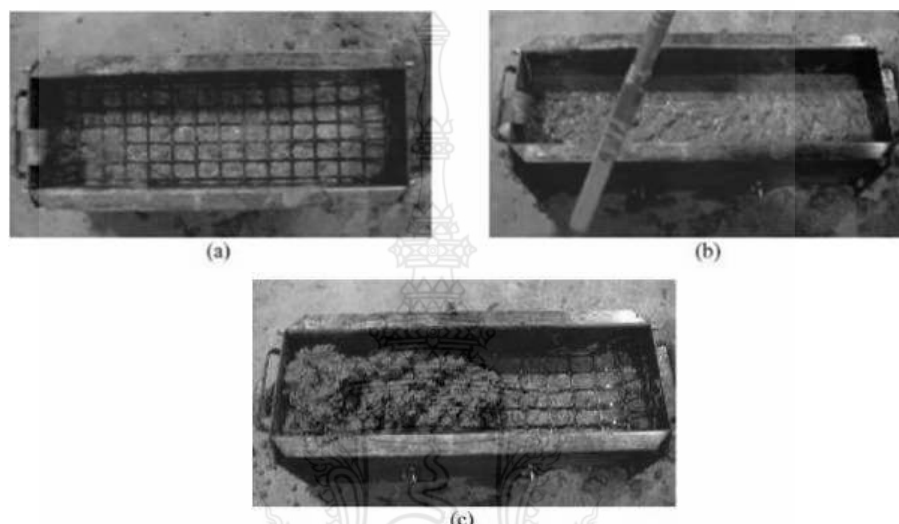
รูปที่ 3.24 ตัวอย่างคอนกรีตบ่มในสารละลายโพซเดียมชัลเฟต์, สารละลายโพซเดียมคลอไรด์ และน้ำ



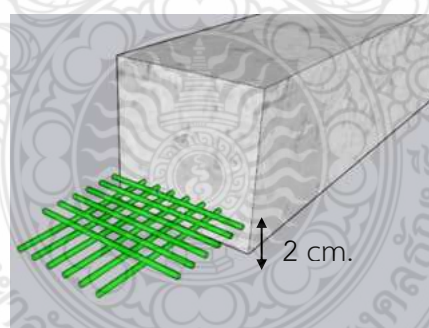
รูปที่ 3.25 ตัวอย่างคอนกรีตรูป Dog Bone

- ตัวอย่างคอนกรีตคาน

หลังจากผสมคอนกรีตแล้ว ทำการเทคอนกรีตลงแบบหล่อโดยการหล่อตัวอย่างซึ่งแบ่งเป็น 3 ชั้น แต่ละชั้นจะทำการทุบคอนกรีตชั้นละ 25 ครั้ง หั่งตัวอย่างคานคอนกรีตแบบไม่เสริมแรง และเสริมแรงด้วยจิโอกริด ทำการถอดแบบเมื่อคอนกรีตก่อตัวครบ 24 ชั่วโมง ทำการถอดแบบแล้วนำไปปั่นในน้ำ เมื่ออายุครบ 28 วัน และ 90 วัน และนำไปทำการทดสอบกำลังรับแรงดัด



รูปที่ 3.26 เทคอนกรีตลงแบบหล่อค่อนกรีตแบบคาน ทำการกระทุกและปัดผิวน้ำให้เรียบ



รูปที่ 3.27 ตำแหน่งการเสริมจิโอกริดของตัวอย่างค่อนกรีตคาน

3.3.4 วิธีการทดสอบ

- ตัวอย่างค่อนกรีตฐานหิน

นำตัวอย่างค่อนกรีตที่ปั่นในน้ำทั้ง 3 ชนิด ที่อายุ 28 และ 180 วัน ขึ้นมาผึ่งให้แห้ง จากนั้นทำการวัดขนาด ชั้นหนาแน่น และจดบันทึกค่าไว้ จากนั้นทำการทดสอบตัวอย่างค่อนกรีตด้วยเครื่องทดสอบกำลังอัด บันทึกค่ากำลังอัดที่เครื่องทดสอบอ่านได้ เพื่อศึกษาผลกระทบของสารเคมีต่อตัวอย่างค่อนกรีต



รูปที่ 3.28 ทำการทดสอบกำลังอัดตัวอย่างคอนกรีตทรงกระบอก

- ตัวอย่างคอนกรีตรูป Dog Bone

นำตัวอย่างคอนกรีตแบบไม่มีเสริมแรง แบบเสริมเหล็กไวร์เมช และแบบเสริมจีโอลิตริดที่บ่อมแซ่ในน้ำทั้ง 3 ชนิด ที่อายุ 28 และ 180 วัน และตัวอย่างคอนกรีตเสริมจีโอลิตริดแบบทaborอยต่อ 1 2 และ 3 ช่องที่อายุ 7 14 และ 28 วัน ตามกำหนดวันทดสอบผึ่งให้แห้ง จากนั้นซึ่งน้ำหนักและจดค่าบันทึกไว้ นำมาทำการทดสอบด้วยเครื่องทดสอบกำลังรับแรงดึงโดยตรง โดยใช้ที่ยืดปลายทั้งสองข้างของตัวอย่างคอนกรีตรูป Dog Bone จากนั้นทำการทดสอบคอนกรีตตัวอย่างจดบันทึกค่ากำลังดึงจากเครื่องทดสอบ เพื่อใช้ในการคิดคำนวณและเปรียบเทียบค่าในแต่ละกรณีต่อไป



รูปที่ 3.29 ทำการทดสอบแรงดึงโดยตรงตัวอย่างคอนกรีตรูป Dog Bone

- ตัวอย่างคอนกรีตคาน

นำตัวอย่างคอนกรีตที่บ่มในน้ำที่อายุ 7 14 วัน และ 28 วัน นำขึ้นมาผึ่งให้แห้ง จากนั้นชั่งน้ำหนักและจดค่าบันทึกไว้ นำมาทำการทดสอบด้วยเครื่องทดสอบกำลังรับแรงดัดแบบใช้แรงกด การทดสอบรูปแบบนี้คือให้แรงกระทำที่ 2 จุดในบริเวณตรงกึ่งกลางของตัวอย่าง และจุดรองรับในทิศทางตรงกันข้ามกับบริเวณปลายทั้งสองด้าน ตามมาตรฐาน ASTM C78 จากนั้นทำการทดสอบตัวอย่างคอนกรีต และสังเกตพฤติกรรมการแอล้อตต์ (ductility) จนกระแท้ ตัวอย่างคอนกรีตคานเกิดการวินาศ นำค่าที่ได้มาคิดคำนวณและเปรียบเทียบค่าในแต่ละกรณีต่อไป



รูปที่ 3.30 ทำการทดสอบกำลังรับแรงดัดตัวอย่างคอนกรีตแบบคาน

3.4 แนวทางการวิเคราะห์ผล

การทดสอบตัวอย่างคอนกรีตรูปทรงกรวยบอกเป็นการทดสอบกำลังรับแรงอัด ตัวอย่างคอนกรีตรูป Dog Bone เป็นการทดสอบกำลังรับแรงดึงโดยตรง และตัวอย่างคอนกรีตแบบคานเป็นการทดสอบกำลังรับแรงดัด โดยใช้กำลังอัด 200 ksc.

1) กรณีของตัวอย่างคอนกรีตรูปทรงกรวยบอก อายุ 28 และ 180 วัน ทำการทดสอบและเปรียบเทียบค่ากำลังรับแรงอัดของคอนกรีตที่บ่มในน้ำทั้ง 3 ชนิด

2) กรณีของตัวอย่างรูป Dog Bone แบบไม่เสริมแรง แบบเสริมเหล็กตะแกรงไวร์เมช และแบบเสริมแรงด้วยจีโกริต ที่บ่มในน้ำ บ่มในสารละลายโซเดียมซัลเฟต และสารละลายโซเดียมคลอร์ไรด์ ทำการทดสอบกำลังรับแรงดึงโดยตรง โดยเปรียบเทียบค่ากำลังการรับดึงและผลกระทบของสารเคมีต่อคอนกรีตที่อายุ 28 และ 180 วัน

3) กรณีของตัวอย่างรูป Dog Bone แบบไม่เสริมแรง เสริมแรงด้วยจีโอกридแบบทاب 1 ช่อง 2 ช่อง และ 3 ช่อง ทำการทดสอบกำลังรับแรงดึงโดยตรง โดยเปรียบเทียบค่ากำลังรับดึงที่อายุ 7 14 และ 28 วัน

4) กรณีของตัวอย่างคอนกรีตแบบคาน โดยตัวอย่างคอนกรีตคานแบบไม่เสริมแรง และ ตัวอย่างคอนกรีตคานแบบเสริมแรงด้วยจีโอกрид ทดสอบกำลังรับแรงดัดที่อายุ 7 14 วัน และ 28 วัน เพื่อให้ได้ค่ากำลังในการรับแรงดัดของตัวอย่างคอนกรีตคานทั้ง 2 แบบ



บทที่ 4

ผลการศึกษาและวิเคราะห์ผลการศึกษา

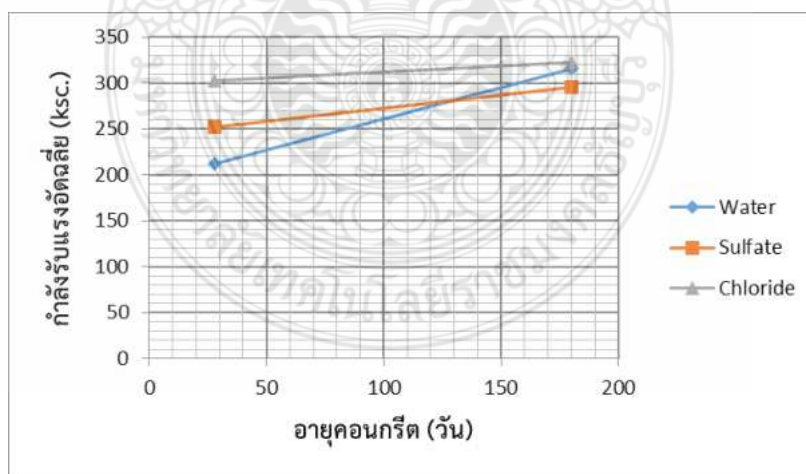
ผลการดำเนินงานและการวิเคราะห์ผลการทดสอบ โดยแบ่งออกเป็นผลการทดสอบกำลังรับแรงอัดของตัวอย่างคอนกรีตรูปทรงกระบอกขนาด 15×30 ซม. และการทดสอบกำลังรับแรงดึงโดยตรงของตัวอย่างคอนกรีตรูปทรง Dog Bone แบบไม่เสริมแรง แบบเสริมด้วยไวน์เมช และ แบบเสริมด้วยจีโอลาริท ที่บ่มในน้ำ บ่มในสารละลายโซเดียมคลอไรด์ และบ่มในสารละลายโซเดียมซัลเฟต ผลการทดสอบกำลังรับแรงดึงโดยตรงของตัวอย่างคอนกรีตรูปทรง Dog Bone เสริมจีโอลาริทแบบทaboroy ต่อ 1 ช่อง 2 ช่อง และ 3 ช่อง และผลการทดสอบกำลังรับแรงดึงของตัวอย่างคอนกรีตแบบคานขนาด $10 \times 10 \times 50$ ซม. แบบไม่เสริมจีโอลาริท และแบบเสริมจีโอลาริท

4.1 ทดสอบกำลังรับแรงอัดของตัวอย่างคอนกรีตรูปทรงกระบอก

จากผลการทดสอบกำลังรับแรงอัดของคอนกรีตทรงกระบอก ทดสอบที่อายุ 28 และ 180 วัน โดยทำการเปรียบเทียบกำลังรับแรงอัดของตัวอย่างคอนกรีตที่บ่มน้ำต่างชนิดกัน

ตารางที่ 4.1 กำลังรับแรงอัดของตัวอย่างคอนกรีตทรงกระบอก

อายุคอนกรีต (วัน)	Water (ksc.)	Sulfate (ksc.)	Chloride (ksc.)
C-28	212	252	302
C-180	315	295	322



รูปที่ 4.1 ความสัมพันธ์ระหว่างกำลังรับแรงอัดและตัวอย่างคอนกรีตรูปทรงกระบอกที่บ่มในน้ำประเภทต่างๆ ที่อายุ 28 วัน และ 180 วัน

จากการทำการทดสอบกำลังรับแรงอัดของตัวอย่างคอนกรีตรูปทรงกระบอกที่อายุ 28 วัน ดังแสดงในตารางที่ 1 และ รูปที่ 4.1 พบว่า ค่ากำลังรับแรงอัดของตัวอย่างคอนกรีตที่บ่มในน้ำมีค่า 212 กิโลกรัมต่ำตรางเซนติเมตร ซึ่งมีค่าเป็นไปตามที่ออกแบบส่วนผสมไว้ และเมื่ออายุ 180 วัน ค่ากำลังอัดพัฒนาขึ้นไปถึง 315 กิโลกรัมต่ำตรางเซนติเมตร ซึ่งเป็นการเพิ่มกำลังอัดตามอายุที่เพิ่มขึ้นของปฏิกิริยาไฮเดรชัน และที่อายุ 180 วัน มีการเพิ่มขึ้น ของกำลังรับแรงอัดมากขึ้นตามอายุที่มากขึ้น เท่ากับ 315 295 และ 322 กิโลกรัมต่ำตรางเซนติเมตร ของตัวอย่างคอนกรีตที่บ่มในน้ำ บ่มในสารละลายโซเดียมซัลเฟต และบ่มในสารละลายโซเดียมคลอไรด์ ตามลำดับ จากผลที่ได้พบว่าสารละลายแต่ละชนิดยังไม่ส่งผลกระทบอย่างชัดเจนกับตัวอย่างคอนกรีต

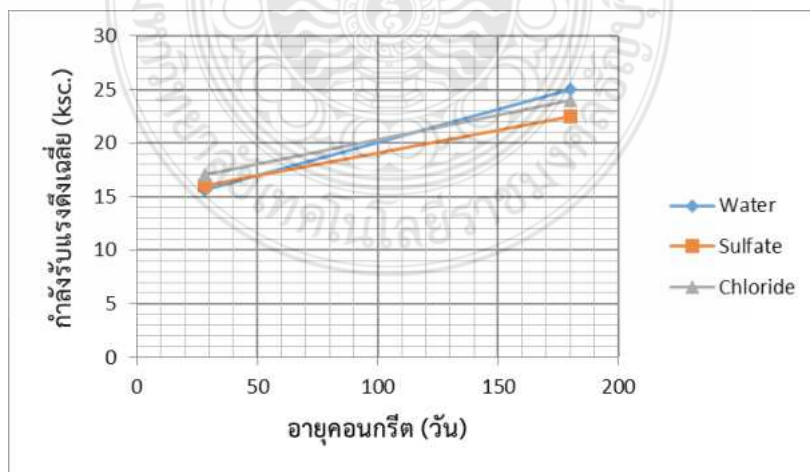
4.2 ทดสอบกำลังรับแรงดึงโดยตรงของตัวอย่างคอนกรีตรูปทรง Dog Bone

ผลการทดสอบกำลังรับแรงดึงโดยตรงของตัวอย่างคอนกรีตรูปทรง Dog Bone โดยทำการเปรียบเทียบกำลังรับแรงดึงโดยตรงของคอนกรีตแบบไม่เสริมแรง แบบเสริมเหล็กไวร์เมช และแบบเสริมจีโอลาริท ในสภาวะการบ่มในน้ำ บ่มในสารละลายโซเดียมซัลเฟต และบ่มในสารละลายโซเดียมคลอไรด์ ที่อายุ 28 วัน และ 180 วัน โดยใช้กำลังอัดออกแบบที่ 200 กิโลกรัมต่ำตรางเซนติเมตร

4.2.1 ผลการทดสอบกำลังรับแรงดึงโดยตรงของตัวอย่างคอนกรีตรูปทรง Dog Bone แบบไม่เสริมแรง

ตารางที่ 4.2 กำลังรับแรงดึงโดยตรงของตัวอย่างคอนกรีตรูปทรง Dog Bone แบบไม่เสริมแรง

อายุคอนกรีต (วัน)	Water (ksc.)	Sulfate (ksc.)	Chloride (ksc.)
N-28	15.6	16.0	17.0
N-180	25.0	22.5	24.0



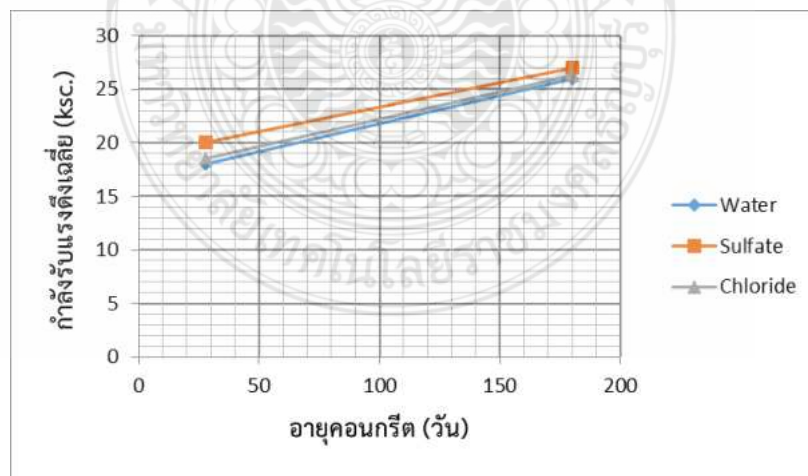
รูปที่ 4.2 ความสัมพันธ์ระหว่างกำลังรับแรงดึงกับตัวอย่างคอนกรีตรูปทรง Dog Bone ไม่เสริมแรงที่บ่มในน้ำขึ้นต่างๆ ที่อายุ 28 วัน และ 180 วัน

จากผลการทำการทดสอบกำลังรับแรงดึงโดยตรงของตัวอย่างคอนกรีตรูปทรง Dog Bone แบบไม่เสริมแรง ตั้งแสดงในตารางที่ 2 และรูปที่ 4.2 พบร้าที่อายุตัวอย่างทดสอบ 28 วัน มีค่าการทดสอบดังนี้ คอนกรีตรูปทรง Dog Bone แบบไม่เสริมแรงบ่ในน้ำ มีค่ากำลังรับแรงดึงเฉลี่ยเท่ากับ 15.6 กิโลกรัมต่อตารางเซนติเมตร การบ่ในสารละลายโซเดียมซัลเฟต มีค่ากำลังรับแรงดึงเฉลี่ยเท่ากับ 16.0 กิโลกรัมต่อตารางเซนติเมตร การบ่ในสารละลายโซเดียมคลอไรด์ มีค่ากำลังรับแรงดึงเฉลี่ยเท่ากับ 17.0 กิโลกรัมต่อตารางเซนติเมตร สำหรับที่อายุ 180 วัน จะพบร้า ตัวอย่างคอนกรีตรูปทรง Dog Bone แบบไม่เสริมแรงที่บ่ในน้ำ มีค่ากำลังรับแรงดึงเฉลี่ยเท่ากับ 25.0 กิโลกรัมต่อตารางเซนติเมตร การบ่ในสารละลายโซเดียมซัลเฟต มีค่ากำลังรับแรงดึงเฉลี่ยเท่ากับ 22.5 กิโลกรัมต่อตารางเซนติเมตร และการบ่ในสารละลายโซเดียมคลอไรด์ มีค่ากำลังรับแรงดึงเฉลี่ยเท่ากับ 24.0 กิโลกรัมต่อตารางเซนติเมตร กำลังรับแรงดึงโดยตรงมีค่าที่เพิ่มมากขึ้น จากผลจะเห็นได้ว่าตัวอย่างคอนกรีตที่บ่ในน้ำ ปมในสารละลายโซเดียมซัลเฟต และบ่ในสารละลายโซเดียมคลอไรด์จะมีค่าใกล้เคียงกัน โดยที่ชนิดของสารละลายไม่มีผลการทดสอบต่อค่าแรงดึงโดยตรง โดยค่าแรงดึงโดยตรงมีค่าเพิ่มมากขึ้นตามอายุของคอนกรีตที่มากขึ้น ซึ่งเป็นไปตามการทดสอบของ ชัยณัฐ และ จตุพล [11] และ งานวิจัยของ ยิ่งพงษ์ และ จตุพล [12] ที่แสดงค่าแรงดึงโดยตรงมีค่าเพิ่มมากขึ้นตามอายุของคอนกรีตที่เพิ่มขึ้น

4.2.2 ผลทดสอบกำลังรับแรงดึงโดยตรงของตัวอย่างคอนกรีตรูปทรง Dog Bone แบบเสริมเหล็กไวร์เมช

ตารางที่ 4.3 กำลังรับแรงดึงโดยตรงของตัวอย่างคอนกรีตรูปทรง Dog Bone แบบเสริมเหล็กไวร์เมช

อายุคอนกรีต (วัน)	Water (ksc.)	Sulfate (ksc.)	Chloride (ksc.)
ST-28	18.0	20.0	18.5
ST-180	26.0	27.0	26.3



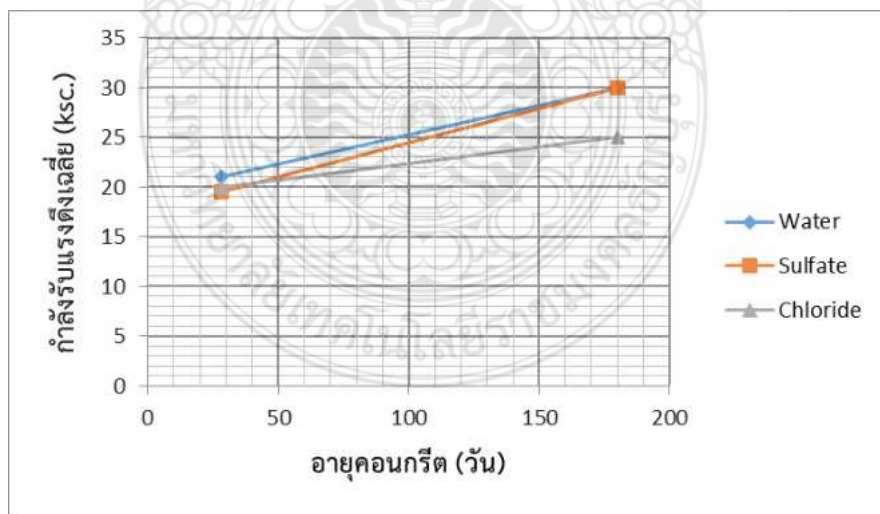
รูปที่ 4.3 ความสัมพันธ์ระหว่างกำลังรับแรงดึงกับตัวอย่างคอนกรีตรูปทรง Dog Bone แบบเสริมเหล็กไวร์เมช ที่บ่ในน้ำชนิดต่างๆ ที่อายุ 28 วัน และ 180 วัน

จากผลการทำการทดสอบคอนกรีตรูปทรง Dog Bone แบบเสริมแรงด้วยเหล็กไวร์เมช พบว่า ที่อายุ 28 วัน ที่บ่มในน้ำมีค่ากำลังรับแรงดึงเฉลี่ยเท่ากับ 18.0 กิโลกรัมต่อตารางเซนติเมตร ที่บ่มในสารละลายน้ำซัลเฟต มีค่ากำลังรับแรงดึงเฉลี่ยเท่ากับ 20.0 กิโลกรัมต่อตารางเซนติเมตร และที่บ่มในสารละลายน้ำซีอิ荠เดียมคลอไรด์ มีค่ากำลังรับแรงดึงเฉลี่ยเท่ากับ 18.5 กิโลกรัมต่อตารางเซนติเมตร เมื่อพิจารณาผลการทำการทดสอบกำลังรับแรงดึงโดยตรงของตัวอย่างคอนกรีตรูปทรง Dog Bone ที่อายุ 180 วัน จะเห็นได้ว่า ตัวอย่างคอนกรีตรูปทรง Dog Bone แบบเสริมแรงด้วยเหล็กไวร์เมชที่บ่มในน้ำมีค่าเท่ากับ 26.0 กิโลกรัมต่อตารางเซนติเมตร ที่บ่มในสารละลายน้ำซัลเฟต มีค่าเท่ากับ 27.0 กิโลกรัมต่อตารางเซนติเมตร และที่บ่มในสารละลายน้ำซีอิ荠เดียมคลอไรด์ มีค่ากำลังเท่ากับ 26.3 กิโลกรัมต่อตารางเซนติเมตร ซึ่งคอนกรีตมีการพัฒนากำลังรับแรงดึงโดยตรงมากขึ้นตามอายุที่มีมากขึ้น และค่าแรงดึงโดยตรงที่ได้มีค่าใกล้เคียงกัน ทำให้เห็นว่าไม่มีผลกระทบจากชนิดของสารละลายน้ำใช้ในการบ่มคอนกรีต และค่าแรงดึงโดยตรงเพิ่มขึ้นตามอายุที่เพิ่มขึ้นเหมือนกับตัวอย่างคอนกรีตที่ไม่ได้เสริมวัสดุเสริมแรง และ สอดคล้องกับผลงานวิจัยของ ชัยณัฐ และ จตุพล [11] และ งานวิจัยของ ยิ่งพงษ์ และ จตุพล [12]

4.2.3 ผลทดสอบกำลังรับแรงดึงโดยตรงของตัวอย่างคอนกรีตรูปทรง Dog Bone แบบเสริมจีโอกริด

ตารางที่ 4.4 การทดสอบกำลังรับแรงดึงโดยตรงของตัวอย่างคอนกรีตรูปทรง Dog Bone แบบเสริมจีโอกริด

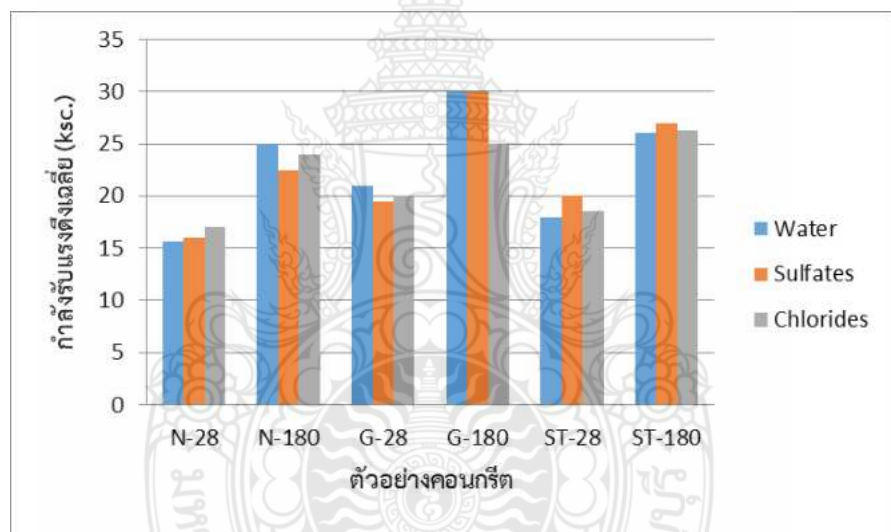
อายุคอนกรีต (วัน)	Water (ksc.)	Sulfate (ksc.)	Chloride (ksc.)
G-28	21.0	19.5	20.0
G-180	30.0	30.0	25.0



รูปที่ 4.4 ความสัมพันธ์ระหว่างกำลังรับแรงดึงกับตัวอย่างคอนกรีตรูปทรง Dog Bone แบบเสริมจีโอกริด ที่บ่มในน้ำชนิดต่างๆ ที่อายุ 28 วัน และ 180 วัน

จากผลการทำการทดสอบกำลังรับแรงดึงโดยตรงของตัวอย่างคอนกรีตรูปทรง Dog Bone แบบเสริมแรงด้วยจีโอกริดที่อายุ 28 วัน พบว่า ตัวอย่างคอนกรีตที่บ่มในน้ำ มีค่ากำลังรับแรงดึงเฉลี่ยเท่ากับ

21.0 กิโลกรัมต่อตารางเซนติเมตร ตัวอย่างคอนกรีตที่บ่มในสารละลายน้ำเดี่ยมซัลเฟต มีค่ากำลังรับแรงดึงเฉลี่ยเท่ากับ 19.5 กิโลกรัมต่อตารางเซนติเมตร และตัวอย่างคอนกรีตที่บ่มในสารละลายน้ำเดี่ยมคลอไรด์ มีค่ากำลังรับแรงดึงเฉลี่ยเท่ากับ 20.0 กิโลกรัมต่อตารางเซนติเมตร จะเห็นได้ว่าคอนกรีตมีค่ากำลังรับแรงดึงโดยตรงใกล้เคียงกัน และที่อายุ 180 วัน คอนกรีตที่บ่มในน้ำ มีค่ากำลังรับแรงดึงเฉลี่ยเท่ากับ 30.0 กิโลกรัมต่อตารางเซนติเมตร คอนกรีตที่บ่มในสารละลายน้ำเดี่ยมซัลเฟต มีค่ากำลังรับแรงดึงเฉลี่ยเท่ากับ 30.0 กิโลกรัมต่อตารางเซนติเมตร และคอนกรีตที่บ่มในสารละลายน้ำเดี่ยมคลอไรด์ มีค่ากำลังรับแรงดึงเฉลี่ยเท่ากับ 25.0 กิโลกรัมต่อตารางเซนติเมตร ซึ่งคอนกรีตที่บ่มในน้ำทั้ง 3 ชนิด มีการพัฒนากำลังรับแรงดึงมากขึ้นตามอายุที่มีมากขึ้น โดยค่ากำลังรับแรงดึงที่ได้ไม่แตกต่างกันมากนัก และการบ่มในสารละลายน้ำเดี่ยมซัลเฟตและสารละลายน้ำเดี่ยมคลอไรด์ยังไม่มีการส่งผลกระทบบังคับเจนต่อการรับแรงดึงโดยตรงของคอนกรีต จากรูปที่ 4.5 แสดงให้เห็นว่าการเสริมแรงในคอนกรีตด้วยเหล็กไวร์ เมชมีผลทำให้การรับแรงดึงโดยตรงมีค่าสูงมากกว่าการไม่เสริม และในทำนองเดียวกันการเสริมแรงด้วยจีโอกริดก็มีผลในการรับแรงดึงโดยตรงมีค่ามากขึ้น

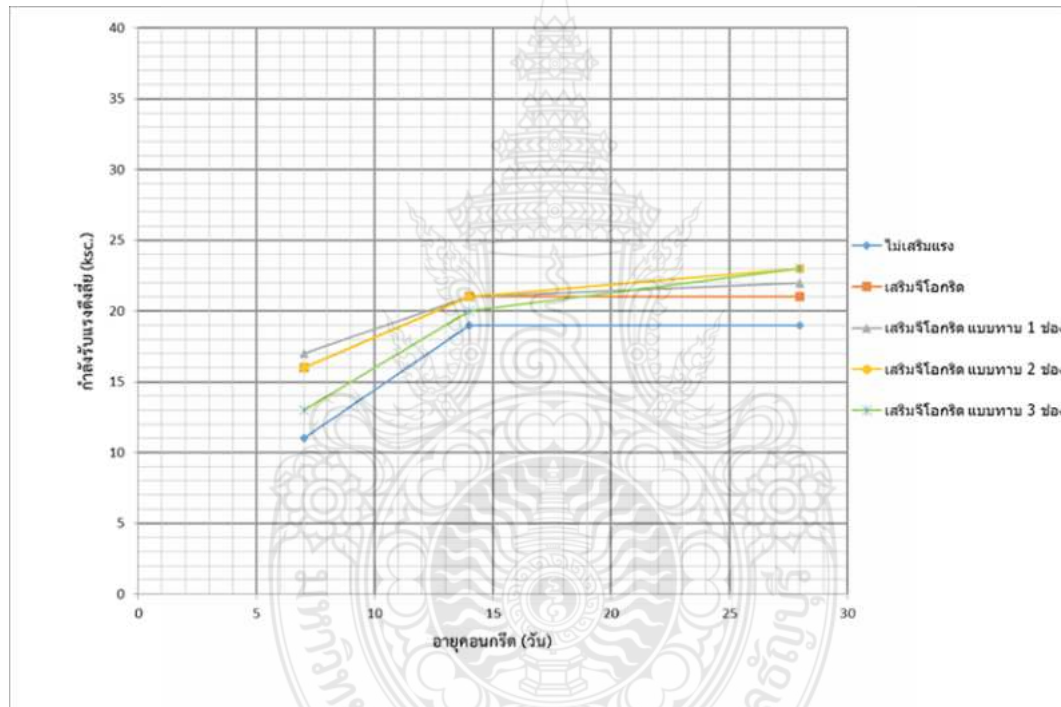


รูปที่ 4.5 ความสัมพันธ์ระหว่างกำลังรับแรงดึงกับตัวอย่างคอนกรีตรูปทรง Dog Bone แบบไม่เสริมแรงแบบเสริมเหล็กไวร์เมช และแบบเสริมจีโอกริดที่บ่มในน้ำชนิดต่างๆ ที่อายุ 28 วัน และ 180 วัน

4.2.4 ผลทดสอบกำลังรับแรงดึงโดยตรงของตัวอย่างคอนกรีตรูปทรง Dog Bone แบบไม่เสริมแรง แบบเสริมจีโอกริด แบบเสริมจีโอกริดแบบทารอยต่อ 1 ช่อง 2 ช่อง และ 3 ช่อง ที่อายุ 7, 14 และ 28 วัน

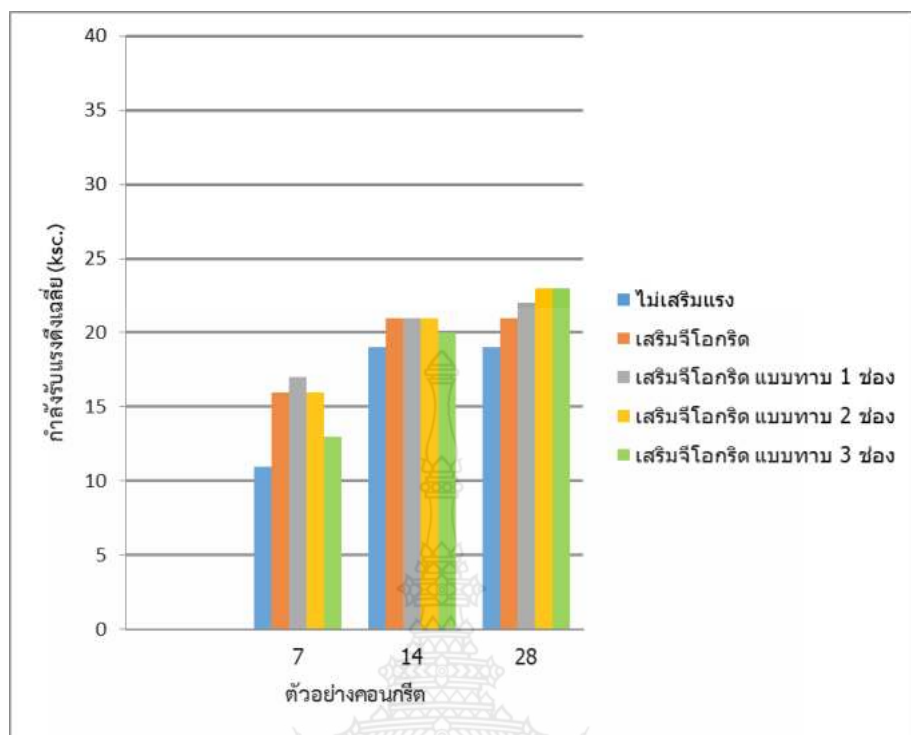
ตารางที่ 4.5 การทดสอบการรับแรงดึงโดยตรงของตัวอย่างคอนกรีตรูปทรง Dog Bone เสริมจีโกริดแบบต่าง ๆ (ใช้หน่วย ksc.)

อายุคอนกรีต (วัน)	ไม่เสริมแรง	เสริมจีโกริด	เสริมจีโกริด	เสริมจีโกริด	เสริมจีโกริด
			แบบทاب รอยต่อ 1 ช่อง	แบบทاب รอยต่อ 2 ช่อง	แบบทاب รอยต่อ 3 ช่อง
7	11	16	17	16	13
14	19	21	21	21	20
28	19	21	22	23	23



รูปที่ 4.6 ความสัมพันธ์ระหว่างกำลังรับแรงดึงกับตัวอย่างคอนกรีตรูปทรง Dog Bone แบบไม่เสริมแรง แบบเสริมจีโกริด แบบเสริมจีโกริดแบบทابรอยต่อ 1 ช่อง 2 ช่อง และ 3 ช่อง ที่อายุ 7 14 และ 28 วัน

จากผลทดสอบการรับแรงดึงโดยตรงของตัวอย่างคอนกรีตรูปทรง Dog Bone ที่เสริมจีโกริดแบบทابรอยต่อ 1 ช่อง, 2 ช่อง และ 3 ช่อง ที่อายุ 7 วัน พบร่วมกันว่าเมื่อทำการเปรียบเทียบคอนกรีตที่เสริมด้วยจีโกริดและตัวอย่างคอนกรีตเสริมจีโกริดแบบที่มีการต่อทابรอยต่อ จะเห็นได้ว่าการเสริมจีโกริดและแบบมีการต่อทابรอยต่อมีผลของการรับแรงดึงโดยตรงไม่แตกต่างกัน เมื่อคอนกรีตมีอายุ 14 วัน พบร่วมกันว่าการรับแรงดึงโดยตรงของคอนกรีตยังคงมีค่าไกล์เคียงกัน และที่อายุ 28 วัน พบร่วมกันว่าการทดสอบแรงดึงโดยตรงยังมีแนวโน้มเดียวกับที่ 7 และ 14 วัน กล่าวคือค่าที่ได้มีไกล์เคียงกัน



รูปที่ 4.7 ความสัมพันธ์ระหว่างกำลังรับแรงดึงกับตัวอย่างคอนกรีตรูปทรง Dog Bone แบบไม่เสริมแรง แบบเสริมจีโอกริด และเสริมจีโอกริดแบบทารอยต่อ 1 ชั้ง 2 ชั้ง และ 3 ชั้ง ที่อายุ 7 14 และ 28 วัน

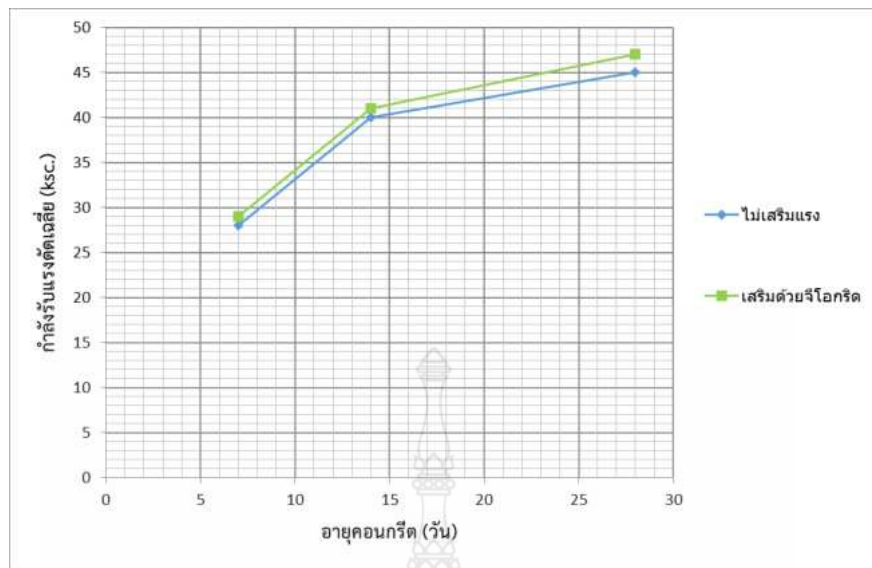
4.3 ผลทดสอบกำลังรับแรงดัดของตัวอย่างคอนกรีตคาน

ผลการทดสอบกำลังรับแรงดัดของตัวอย่างคอนกรีตคานแบบป้ายไม่เสริมแรง และแบบเสริมจีโอกริด ที่อายุ 7 14 และ 28 วัน โดยใช้กำลังอัด 200 กิโลกรัมต่อตารางเซนติเมตร

จากการทดสอบกำลังรับแรงดัดตามมาตรฐาน ASTM C 78 ตัวอย่างคอนกรีตคานแบบเสริมจีโอกริด ที่อายุ 7 14 และ 28 วัน มีค่าเฉลี่ยเท่ากับ 29, 41 และ 47 กิโลกรัมต่อตารางเมตร ตามลำดับ

ตารางที่ 4.6 ค่าเฉลี่ยการทดสอบกำลังรับแรงดัดของตัวอย่างคอนกรีตคานขนาด $10 \times 10 \times 50$ ซม. แบบไม่เสริมแรง และแบบเสริมจีโอกริด

อายุคอนกรีต (วัน)	กำลังดัดเฉลี่ย	
	แบบไม่เสริมจีโอกริด	แบบเสริมจีโอกริด
7	28	29
14	40	41
28	45	47



รูปที่ 4.8 ความสัมพันธ์ระหว่างกำลังแรงดัดเฉลี่ยของตัวอย่างคอนกรีตคานแบบไม่เสริมจีโอกริด และแบบเสริมจีโอกริด ที่อายุ 7 14 และ 28 วัน

จากการทดสอบการรับแรงดัดของตัวอย่างคอนกรีตคาน พบร่วมค่าแรงดัดเฉลี่ยที่อายุ 7 วัน แบบไม่เสริมจีโอกริด และแบบเสริมจีโอกริดมีค่าเท่ากับ 28 และ 29 ksc. ค่ากำลังรับแรงดัดเฉลี่ยที่อายุ 14 วัน แบบไม่เสริมจีโอกริด และแบบเสริมจีโอกริดเท่ากับ 40 และ 41 ksc. ตามลำดับ และค่ากำลังรับแรงดัดเฉลี่ยที่อายุ 28 วัน แบบไม่เสริมจีโอกริด และแบบเสริมจีโอกริดมีค่าเท่ากับ 45 และ 47 ksc. ตามลำดับ ซึ่งการเสริมวัสดุจีโอกริดมีผลทำให้ตัวอย่างคานมีการรับแรงดัดได้เพิ่มมากขึ้นเนื่องจากวัสดุจีโอกริดเป็นวัสดุที่ใช้สำหรับรับแรงดึงที่เกิดขึ้นคาน โดยการวิบัติของตัวอย่างคอนกรีตคานแบบไม่เสริมจีโอกริด จะแตกหักออกจากกัน แต่จะเห็นได้ชัดเจนว่าตัวอย่างคอนกรีตคานแบบเสริมจีโอกริดมีเพียงรอยแตกกร้าวเท่านั้น เนื่องจากวัสดุจีโอกริดเป็นตัวยึดเหนี่ยวคอนกรีตไว้จึงไม่แตกหักออกจากกัน



รูปที่ 4.9 การวิบัติของตัวอย่างคอนกรีตคานแบบไม่เสริมจีโอกริดและแบบเสริมจีโอกริด

บทที่ 5

สรุปผลการวิจัยและข้อเสนอแนะ

5.1 สรุปผลการวิจัย

จากการทดสอบการรับกำลังแรงอัดของคอนกรีตทรงกรวยบอกที่ปั๊มในน้ำ ปั๊มในสารละลายซัลเฟต บ่มในสารละลายคลอไรด์ที่อายุ 28 และ 180 วัน ค่ากำลังการรับแรงอัดเพิ่มมากขึ้นตามอายุของคอนกรีต ซึ่งการบ่มในน้ำ บ่มในสารละลายคลอไรด์ และบ่มสารละลายซัลเฟต ตัวอย่างคอนกรีตสามารถพัฒนากำลังรับแรงอัดได้โดยไม่มีผลกระทบจากสารละลายซัลเฟตและคลอไรด์

จากการวิจัยที่ผ่านมาได้แสดงให้เห็นว่าการบ่มด้วยสารละลายทางเคมีที่มีอยู่ในน้ำ สรุปได้ว่าค่ากำลังรับแรงดึงโดยตรงของทุกตัวอย่างเพิ่มขึ้นตามอายุที่เพิ่มขึ้นของการบ่มทุกชนิด และไม่เกิดการกัดกร่อนหรือส่งผลกระทบต่อตัวอย่างคอนกรีต Dog Bone สำหรับตัวอย่างคอนกรีต Dog Bone ที่เสริมกำลังด้วยเจือกริด และตัวอย่างคอนกรีตที่เสริมกำลังด้วยเหล็กไวร์เมช จะให้ค่ากำลังรับแรงดึงโดยตรงของคอนกรีตไม่ต่างกันมากนัก แต่จะเห็นได้ชัดว่าการวิบัติของคอนกรีตแบบไม่เสริมแรง และคอนกรีตที่เสริมกำลังด้วยเหล็กไวร์เมชนั้น จะขาดออกจากกันอย่างชัดเจน ส่วนการวิบัติของคอนกรีตเสริมกำลังด้วยเจือกริดนั้น วัสดุเจือกริดสามารถยึดรังคอนกรีตที่วิบัติไว้

จากการวิจัยที่ผ่านมาได้แสดงให้เห็นว่าการทดสอบการรับกำลังรับแรงดึงโดยตรงของตัวอย่างคอนกรีต Dog Bone แบบเสริมเจือกริด เสริมเจือกริดแบบรอยต่อหก 1 ช่อง 2 ช่อง และ 3 ช่อง พบร่วมค่ากำลังการรับแรงดึงเพิ่มขึ้นตามอายุของคอนกรีตที่เพิ่มขึ้น แต่เห็นได้ชัดเจนว่าการวิบัติของตัวอย่างคอนกรีตแบบไม่เสริมแรงแตกต่างกันมาก แต่ตัวอย่างคอนกรีตแบบเสริมเจือกริดมีเพียงรอยแตกร้าวเท่านั้น

จากการทดสอบการรับแรงดึงของตัวอย่างคอนกรีตคานแบบไม่เสริมแรง และแบบเสริมเจือกริด มีค่ากำลังรับแรงดึงที่ใกล้เคียงกัน แต่เห็นได้ชัดเจนว่าการวิบัติของตัวอย่างคอนกรีตคานแบบไม่เสริมแรง จะแตกร้าวและหักออกจากการบ่ม ซึ่งตัวอย่างคอนกรีตคานแบบเสริมเจือกริด พบร่วมรอยแตกร้าวเล็กน้อยเท่านั้น

5.2 ข้อเสนอแนะ

ข้อเสนอแนะในการศึกษาวิจัยครั้งนี้เพื่อนำไปใช้ปรับปรุงในการทำวิจัย ใช้เป็นแนวทางในการพัฒนาและแก้ไขปัญหาที่อาจเกิดขึ้นในการศึกษาวิจัยในครั้งถัดไปดังนี้

5.2.1 ควรเพิ่มระยะเวลาในการทดสอบหรือเพิ่มความเข้มข้นของสารละลาย เพื่อให้เห็นผลกระทบต่อตัวอย่างคอนกรีตที่ชัดเจน

5.2.2 ระมัดระวังในการเตรียมตัวอย่างทดสอบ เพื่อลดค่าการคาดเคลื่อนที่อาจเกิดขึ้น

5.2.3 ใน การทดสอบการรับแรงดึงโดยตรง และการทดสอบการรับแรงดึง เมื่อคอนกรีตวิบัติแล้วเครื่องทดสอบหยุดทำงานจึงทำให้มีได้ค่าการรับกำลังสูงสุด ควรตั้งค่าเครื่องทดสอบให้ทำงานต่อเพื่อให้ได้ค่าการรับกำลังสูงสุดของตัวอย่างคอนกรีต

บรรณานุกรม

- [1] ชัชวาล เศรษฐบุตร, คونกรีตเทคโนโลยี. พิมพ์ครั้งที่ 8.กรุงเทพฯ : 2543.
- [2] รำพึง ชัยหลีเจริญ, ปิติศานต์ กรรมาตร, จตุพล ตั้งภาคิต และนฤชาติ ชูเมือง, การต้านทานซัลเฟตของคอนกรีตผสมตะกรันเตาถลุงเหล็กบดละอียด. วารสารวิศวกรรมศาสตร์ราชมงคลธัญบุรี,ฉบับที่ 1 (2558) : หน้า 13 - 17.
- [3] วิเชียร ชาลี และกิรติกิร เจริญพร้อม, การต้านทานการกัดกร่อนเนื่องจากซัลเฟตของจีโอเพอลิเมอร์คอนกรีตจากถ่านหิน. วารสารวิจัยและพัฒนา มจธ., ปีที่ 35, ฉบับที่ 2 (เมษายน – มิถุนายน 2555) : หน้า 157 - 161.
- [4] กิรติกิร เจริญพร้อม และวิเชียร ชาลี, ความลึกของการแทรกซึมคลอไรด์ในคอนกรีตที่แข็งในสิ่งแวดล้อมทะเล. วารสารวิชาการพระจอมเกล้าพระนครเหนือ, ปีที่ 21, ฉบับที่ 3 (กันยายน - ธันวาคม 2554) : หน้า 522 - 525.
- [5] นันทรัตน์ โยคาวัฒน์ และอภิเดช รัตนดิลก ณ ภูเก็ต, การกักเก็บคลอไรด์และการแทรกซึมของคลอไรด์ในคอนกรีตที่ผสมถ่านหิน ภายใต้สภาวะแวดล้อมทะเลเป็นเวลา 15 ปี. วิทยานิพนธ์ปริญญาบัณฑิต ภาควิชาวิศวกรรมโยธา คณะวิศวกรรมศาสตร์ มหาวิทยาลัยบูรพา, 2556.
- [6] Cho Ching Joe Kwan : GEOGRID REINFORCEMENT OF RAILWAY BALLAST. Ph.D Dissertations Faculty of Philosophy University of Nottingham, 2006.
- [7] Tuan Kiet Tran and Dong Joo Kim, Investigating direct tensile behavior of high performance fiber reinforced cementitious composites at high strain rates. Cement and Concrete Research, Vol. 50, pp. 62-73, 2013.
- [8] มาตรฐานการทดสอบการรับแรงดึงของคอนกรีต (FLEXURAL STRENGTH OF CONCRETE)
- [9] American Concrete Institute, ACI 211.1 – 91 : Standard Practice for Selecting Proportions for normal, Heavyweight, and Mass Concrete, ACI Manual of Concrete Practice, Part 1 : Michigan. 2000.
- [10] American Concrete Institute, ACI 201.2R – 92 : Guide to Durable Concrete. ACI Manual of Concrete Practice, Part 1 : Michigan. 2000.
- [11] ชยันธุ หุตจะิตต์ และ จตุพล ตั้งภาคิต, ผลกระทบของความละอียดของวัสดุ ต่อค่าการอัดตัวและปฏิกิริยาปอชโซลานของแรงดึงคอนกรีต. วารสารวิศวกรรมศาสตร์ ราชมงคลธัญบุรี, ปีที่ 12, ฉบับที่ 2, หน้า 57-70, 2557
- [12] ยิ่งพงษ์ หมุนเนื้อ และ ดร.จตุพล ตั้งภาคิต, ผลกระทบของการใช้ตะกอนประปาแทนที่ปูนซีเมนต์ ปอร์ทแลนด์ต่อกำลังอัด แรงดึงโดยตรง และ การทดสอบของคอนกรีต. การประชุมวิชาการ

คونกรีต ประจำปี ครั้งที่ 14 ณ โรงเรียนรุ่วานา อำเภอหัวหิน จังหวัดประจวบคีรีขันธ์ มีนาคม 6-8, 2562, สมาคมคุณภาพแห่งประเทศไทย

- [13] ตะวัน เพชรอวุธ และ จตุพล ตั้งปกาศิต, การใช้ตะกอนประปา ในมอร์ตาร์เกร้าท์รอยต่อผิวทาง คุณกรีตสำเร็จรูป. การประชุมวิชาการวิศวกรรมโยธาแห่งชาติ ครั้งที่ 25 จ.ชลบุรี วันที่ 15-17 กรกฎาคม 2563, สมาคมวิศวกรรมสถานแห่งประเทศไทย, หน้า 1238-1244
- [14] Tuan Kiet Tran and Dong Joo Kim, **Invertigating direct tensile behavior of high performance fiber reinforced cementitious composites at high strain rates.** Cement and Concrete Research, Vol. 50, pp. 62-73, 2013.
- [15] Kittitep Fuenkajorn and Sippakorn Klanphumeesri, **Direct Tension Test of Intact Rock Using Compression-to-Tension Load Converter.** Research and Development Journal, Suranaree University of Technology, Vol. 21 No. 2, pp. 51-57, 2010.





ภาคผนวก



ภาคผนวก ก
รูปภาพการวิบัติของตัวอย่างคอนกรีต



รูปภาพ ก 1 การวิบัติของตัวอย่างคอนกรีตรูปตัวไว้แบบไม่เสริมแรง ที่เกิดจากแรงดึงโดยตรง



รูปภาพ ก 2 การวิบัติของตัวอย่างคอนกรีตรูปตัวไว้แบบเสริมจีโอกрид ที่เกิดจากแรงดึงโดยตรง



รูปภาพ ก 3 การวิบัติของตัวอย่างค่อนกรีตฐานปั้วໄວแบบเสริมเหล็กไวเมช ที่เกิดจากแรงดึงโดยตรง



รูปภาพ ก 4 การวิบัติของตัวอย่างค่อนกรีตฐานปั้วໄວแบบไม่เสริมแรง ที่เกิดจากแรงดึงโดยตรง



รูปภาพ ก 5 การวิบัติของตัวอย่างคอนกรีตรูปตัวไวแบบเสริมจีโอกวิด ที่เกิดจากแรงดึงโดยตรง





รูปภาพ ก 6 การวิบัติของตัวอย่างค่อนกรีตруปตัวໄວแบบเสริมจีโอกридแบบทารอยต่อ 1 ช่อง ที่เกิดจากแรงดึงโดยตรง



รูปภาพ ก 7 การวิบัติของตัวอย่างค่อนกรีตруปตัวໄວแบบเสริมจีโอกридแบบทารอยต่อ 2 ช่อง ที่เกิดจากแรงดึงโดยตรง



รูปภาพ ก 8 การวิบัติของตัวอย่างคอนกรีตรูปตัวไวแบบเสริมจิ๊วกริดแบบทารอยต่อ 3 ช่อง ที่เกิดจากแรงดึงโดยตรง





รูปภาพ ก 9 การวิบัติของตัวอย่างคอนกรีตคานแบบไม่เสริมแรง ที่เกิดจากแรงดัด



รูปภาพ ก 10 การวิบัติของตัวอย่างคอนกรีตคานแบบเสริม筋โดยกริด ที่เกิดจากแรงดัด



ประวัติผู้เขียน

ชื่อ-นามสกุล นางสาว ชลลดา สวนดอกไม้
วัน เดือน ปีเกิด 12 มกราคม 2530
ที่อยู่ 2/1 ตำบลสีบัวทอง อำเภอแสวงหา จังหวัดอ่างทอง 14150
การศึกษา ปริญญาตรี คณะวิศวกรรมศาสตร์ สาขาวิศวกรรมโยธา
ประสบการณ์การทำงาน มหาวิทยาลัยเทคโนโลยีราชมงคลธัญบุรี
เบอร์โทรศัพท์ ปัจจุบันทำงาน กองทางหลวงพิเศษระหว่างเมือง กรมทางหลวง
อีเมล์ 063-523-2951 chonlada_s@mail.rmutt.ac.th



วิทยานิพนธ์ฉบับนี้เป็นงานวิจัยที่เกิดจากการค้นคว้าและวิจัย ขณะที่ข้าพเจ้าศึกษาอยู่ในคณะ
วิศวกรรมศาสตร์ มหาวิทยาลัยเทคโนโลยีราชมงคลธัญบุรี ดังนั้นงานวิจัยในวิทยานิพนธ์ฉบับนี้ถือเป็น
ลิขสิทธิ์ของมหาวิทยาลัยเทคโนโลยีราชมงคลธัญบุรี และข้อความต่างๆ ในวิทยานิพนธ์ฉบับนี้ ข้าพเจ้า
ขอรับรองว่าไม่มีการคัดลอกหรือนำ้งานวิจัยของผู้อื่นมานำเสนอในชื่อของข้าพเจ้า

This thesis consists of research materials conducted at the Faculty of Engineering,
Rajamangala University of Technology Thanyaburi and hence the copyright owner. I
hereby certify that the thesis does not contain any forms of plagiarism.

2-55

(... ชลอดา สวนดอกไม้ ...)

